

Recent result from Belle

谷口 七重(KEK)

ICEPP Symposium
2月14日~17日

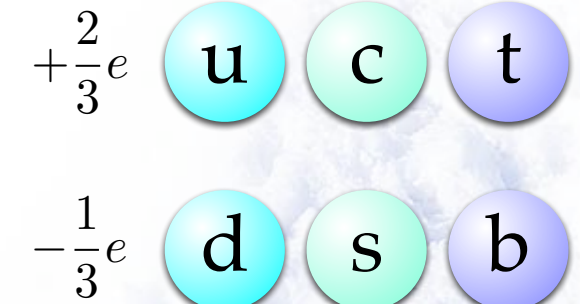
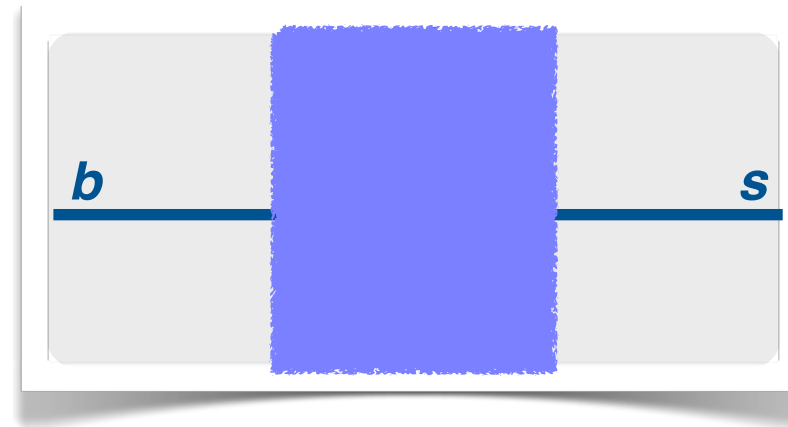
長野県白馬

contents

- Introduction
- $B \rightarrow X s l l$
 - exclusive $K^{(*)} \pi$
 - inclusive



b \rightarrow s transition

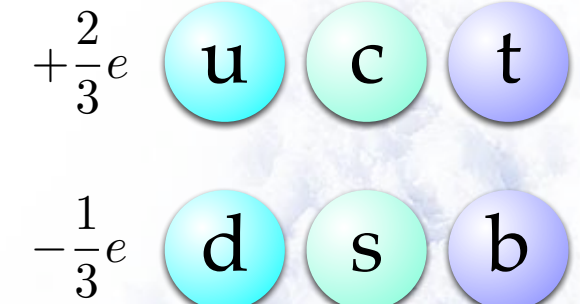
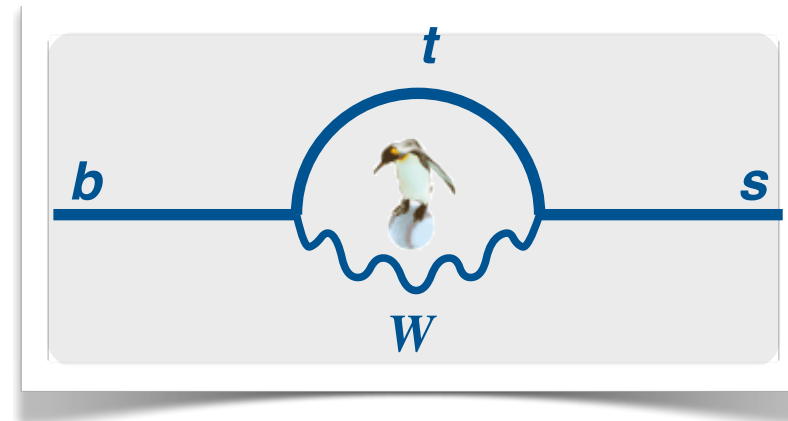


- Flavor Changing Neutral Current

-

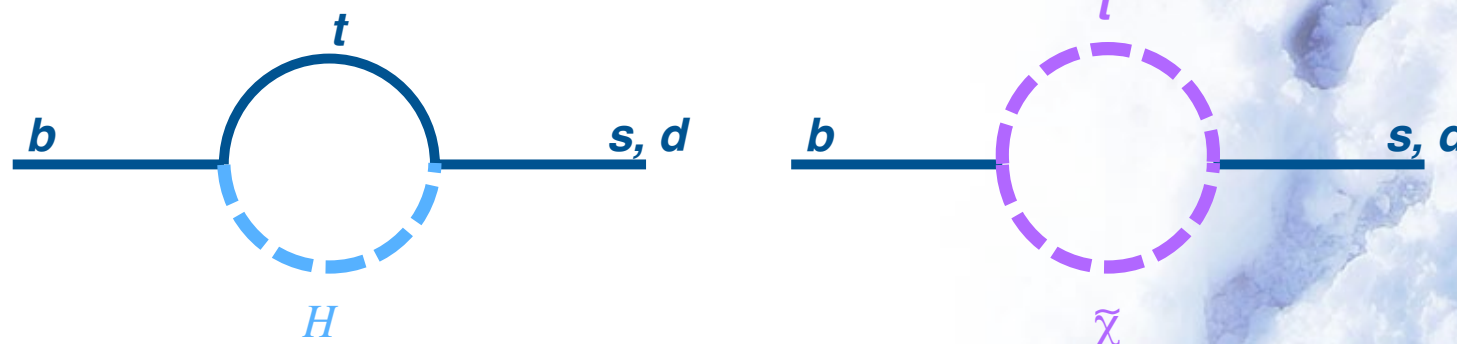


b \rightarrow s transition



● Flavor Changing Neutral Current

- 標準理論ではループダイアグラムを介して可能
- SUSYとの結合も同じオーダー(1-loop)で可能

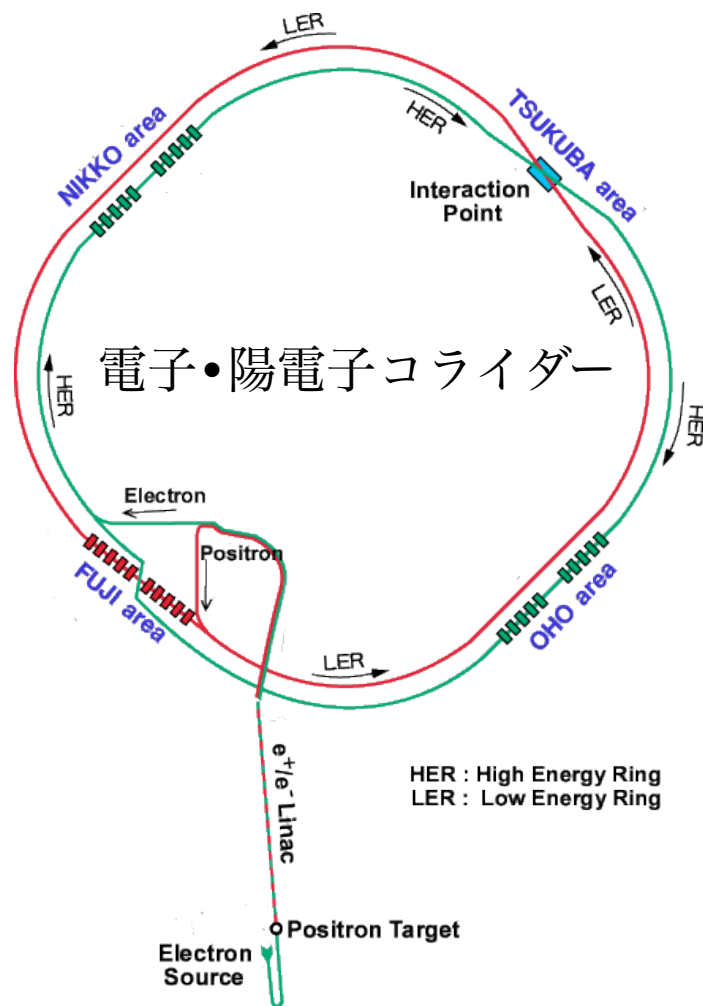




introduction



KEKB加速器



New World Record Luminosity
 $2.11 \times 10^{34} \text{ cm}^{-2} \text{ s}^{-1}$
achieved with crab cavities at KEKB
(June 17, 2009, another world record since May 3rd)
[KEK press release (Japanese), [interactions.org](#), CERN Courier]

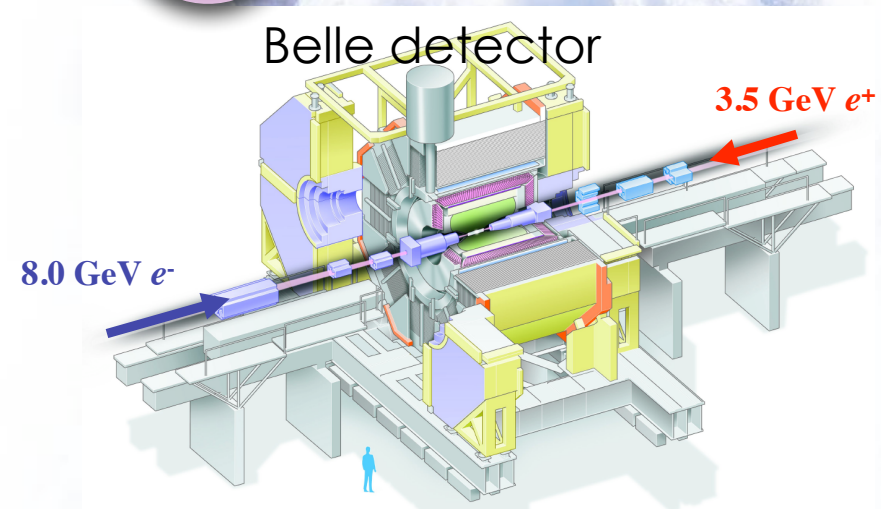
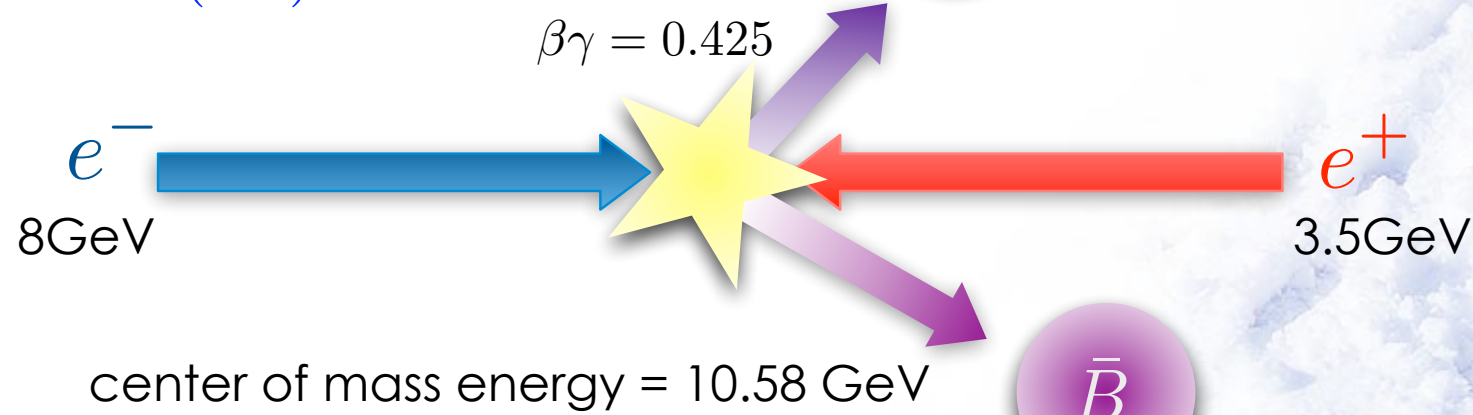
Integrated luminosity reached 1000 fb^{-1}
[KEK press release (Japanese), [interactions.org](#)]





introduction

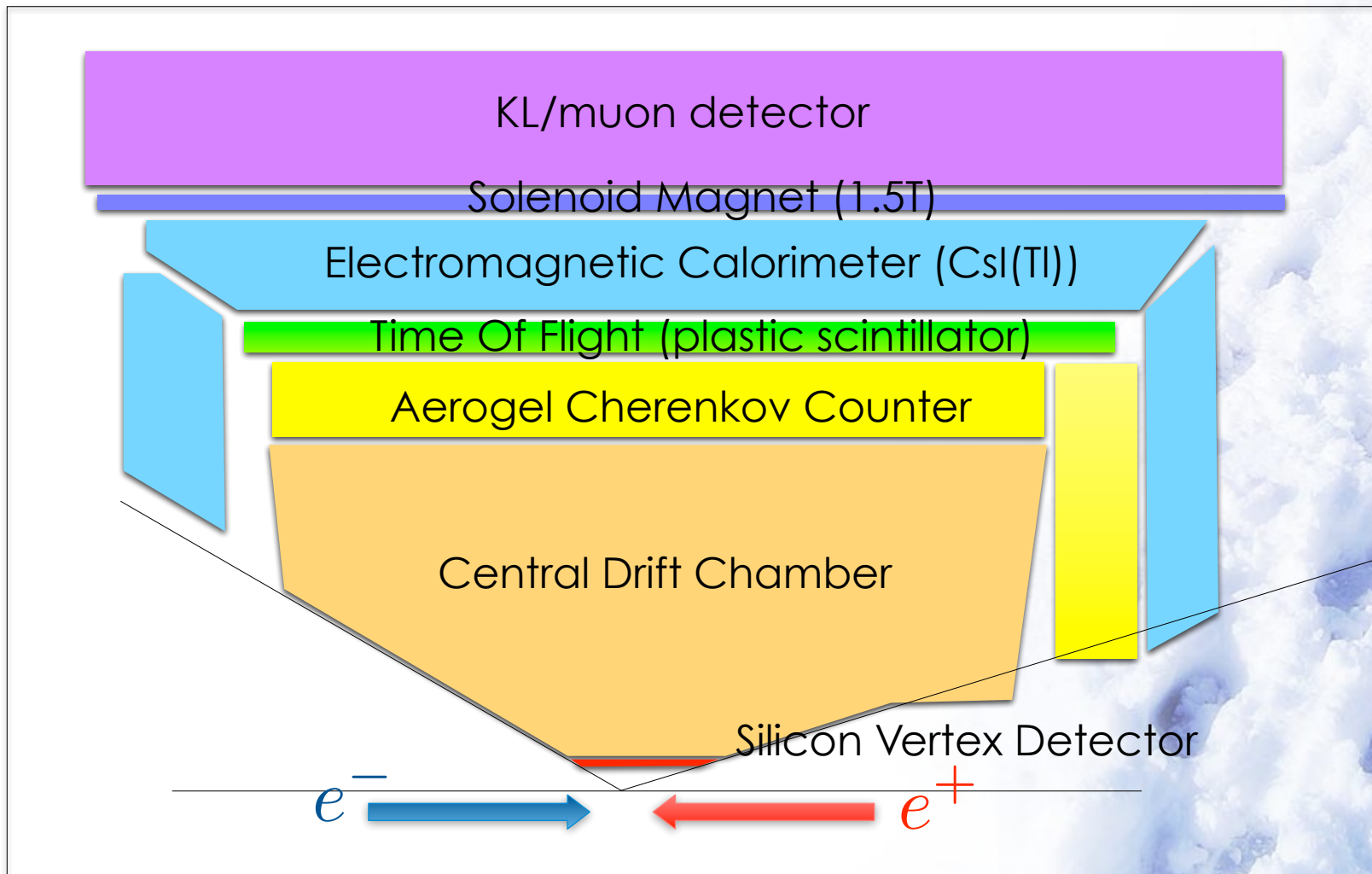
$$e^+ e^- \rightarrow \Upsilon(4S) \rightarrow B\bar{B}$$



introduction

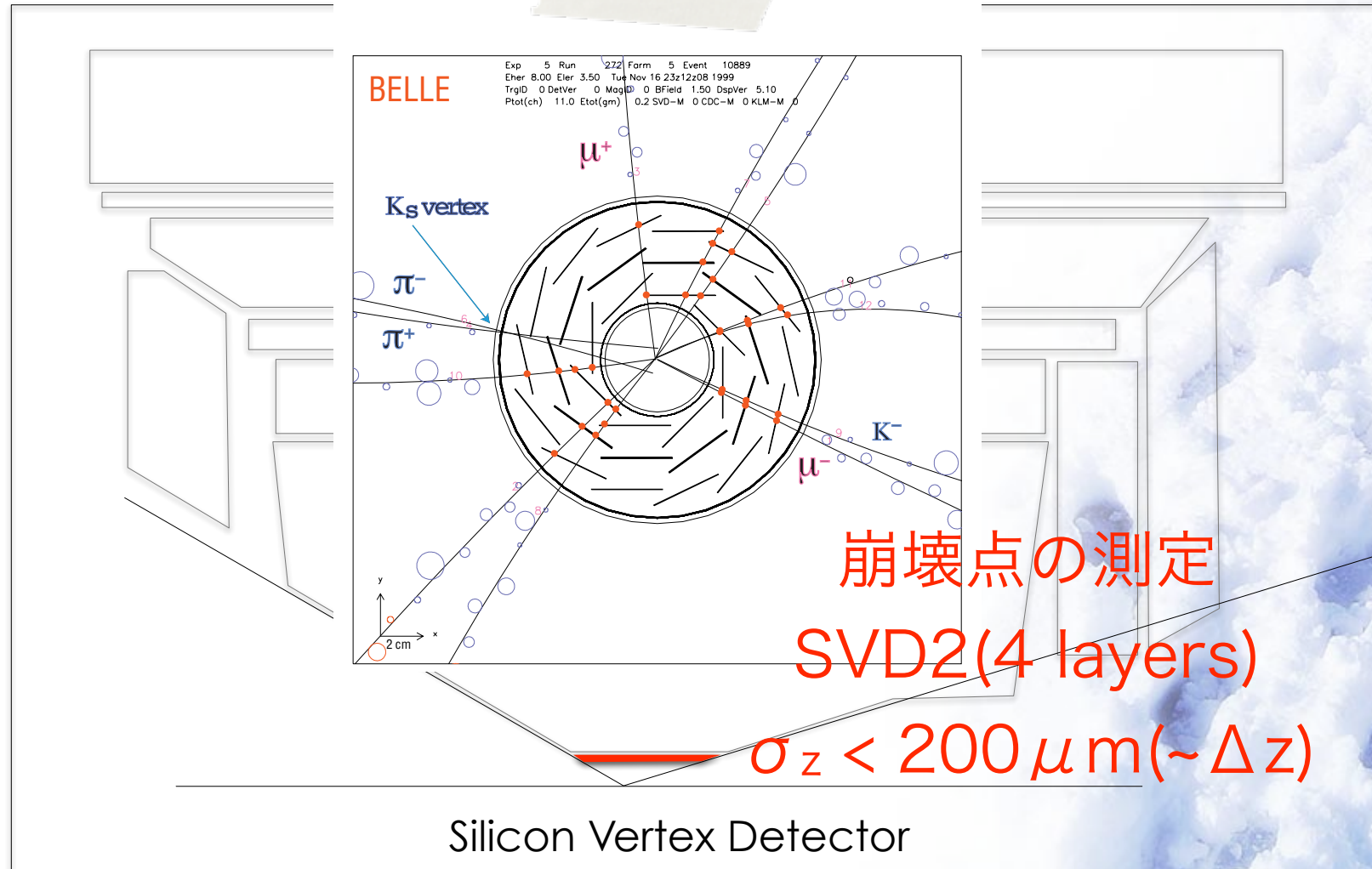
Belle detector

side view



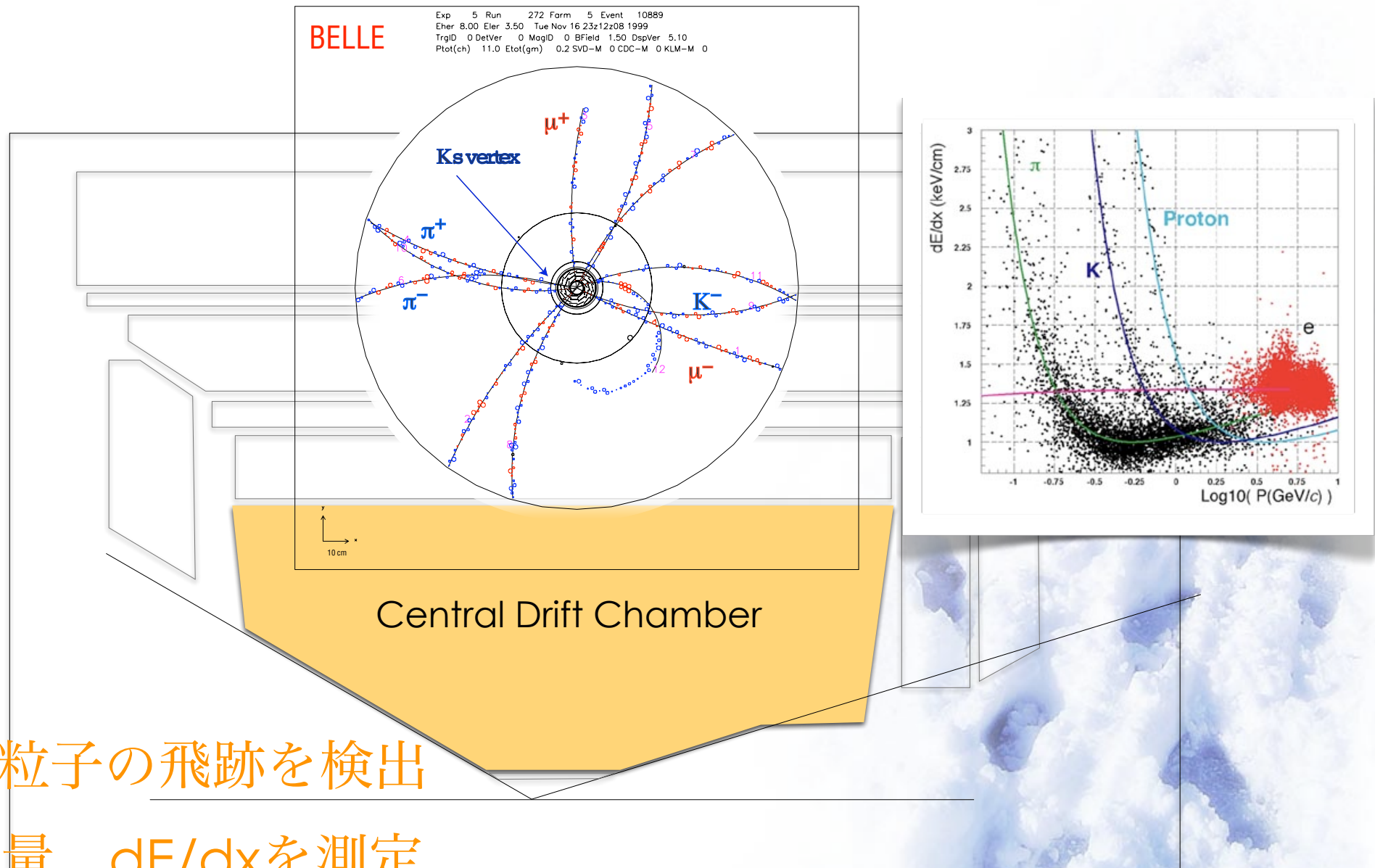


introduction





introduction

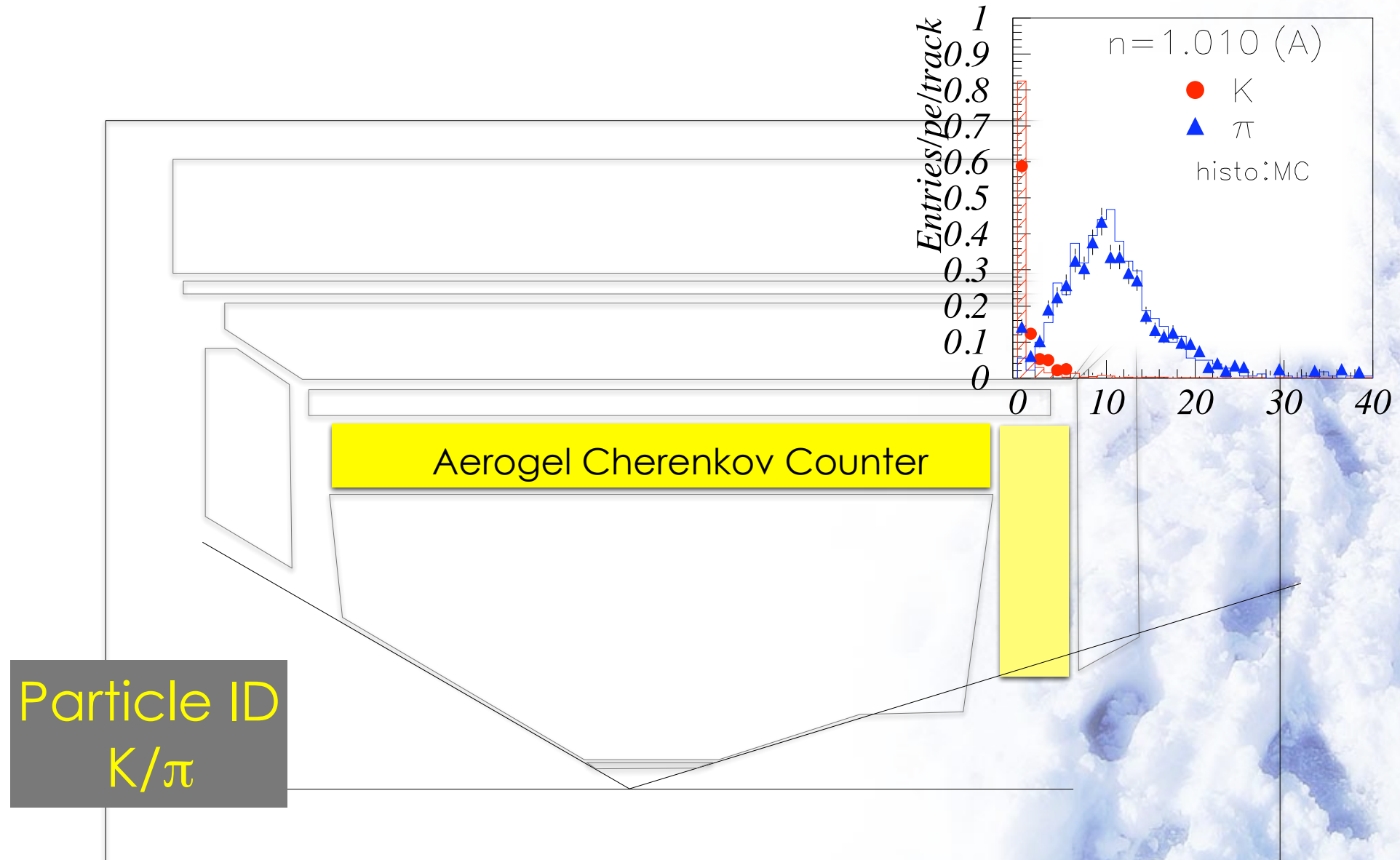


荷電粒子の飛跡を検出

運動量、 dE/dx を測定

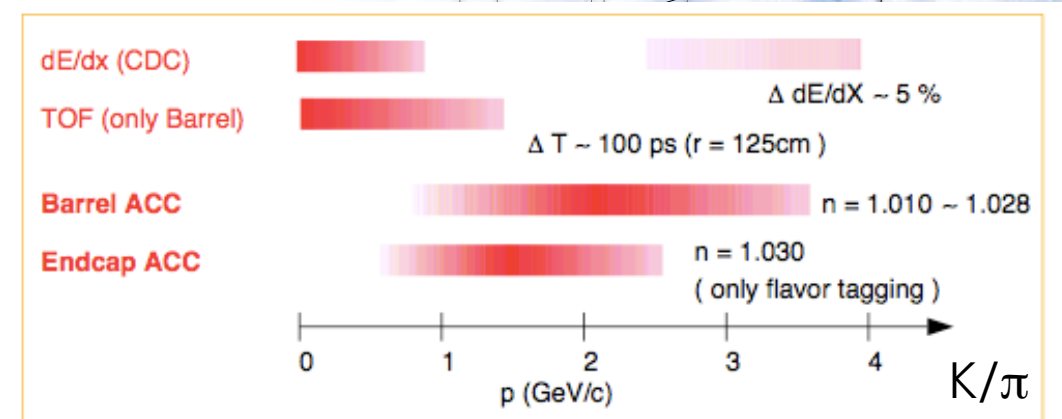
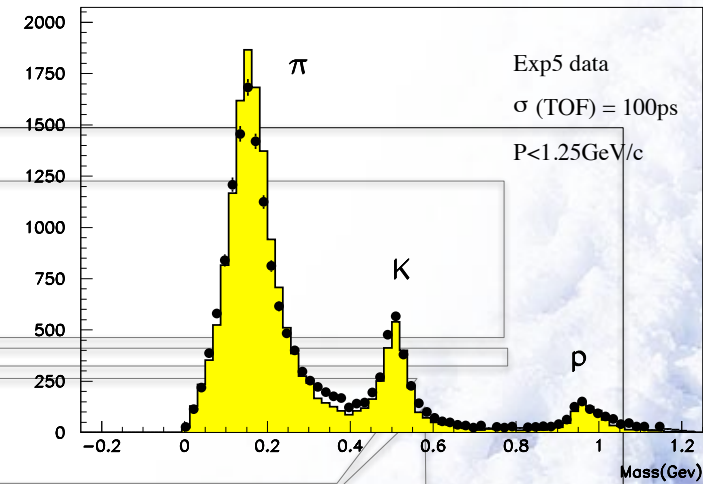
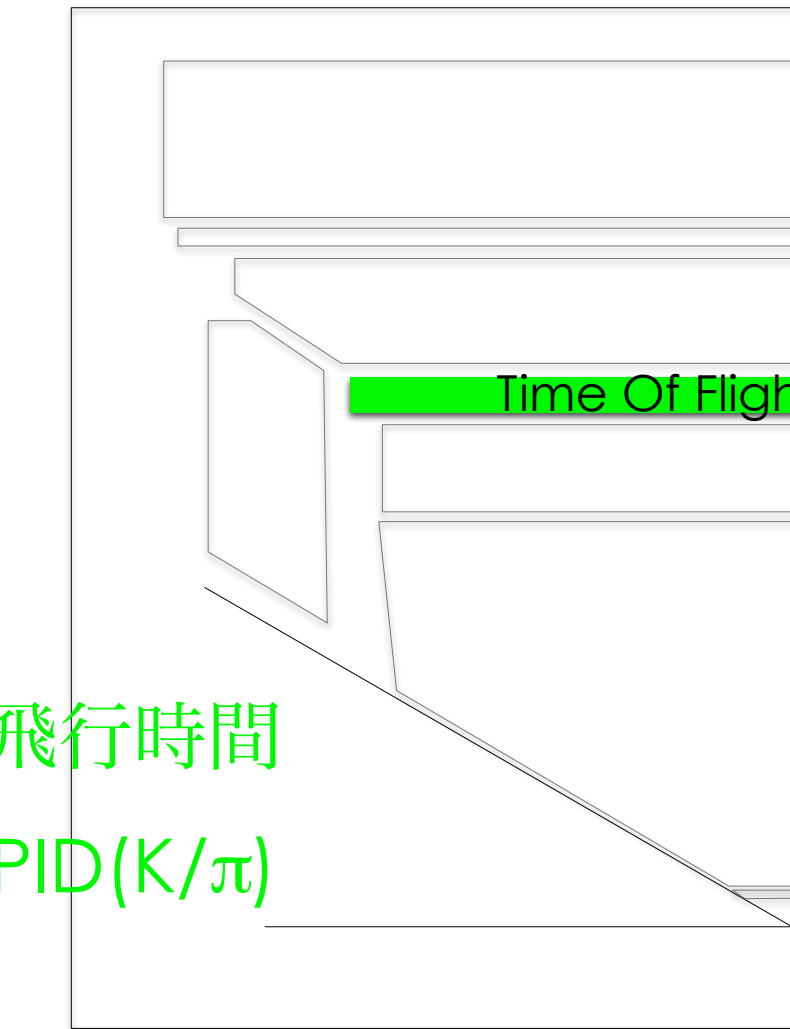


introduction





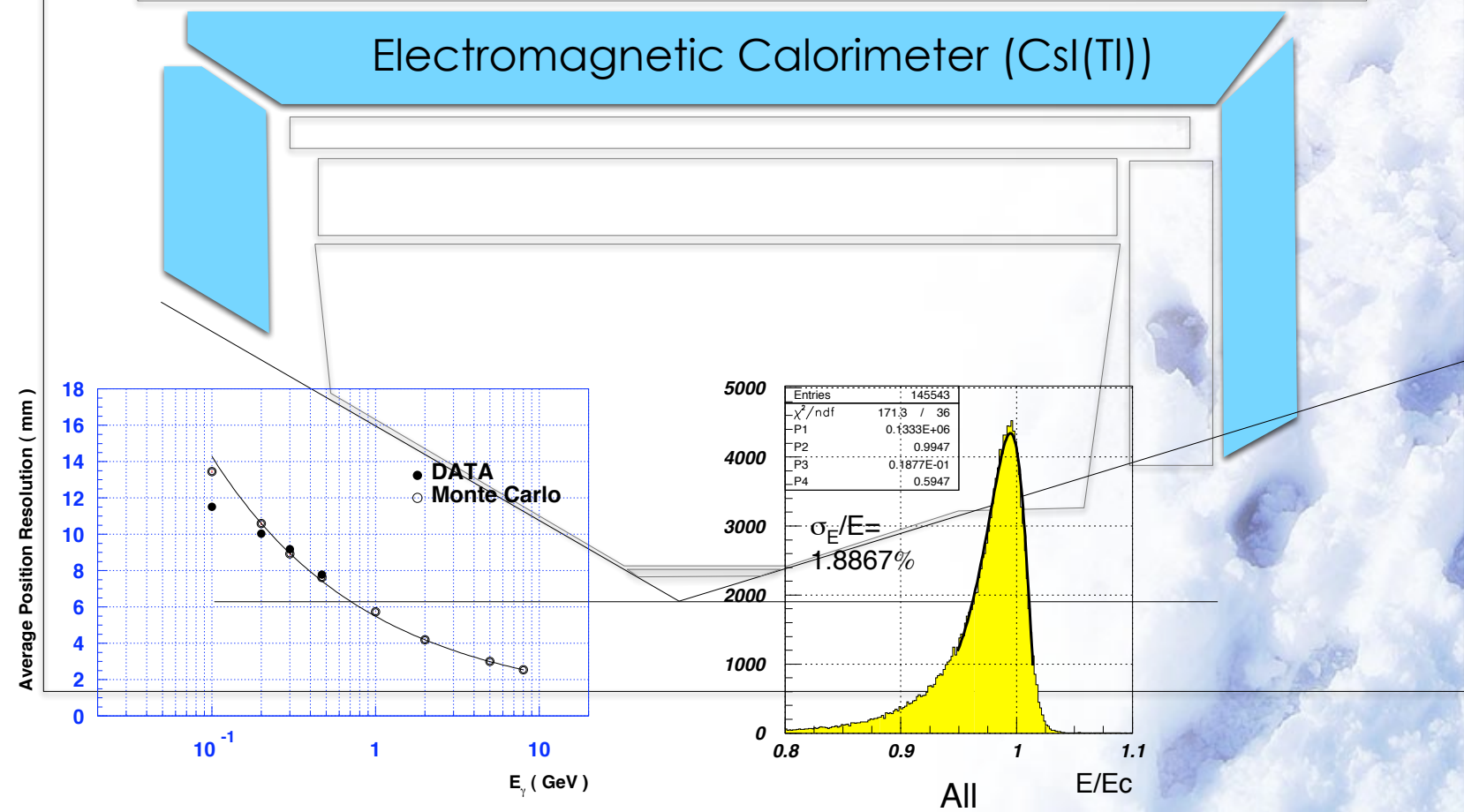
introduction





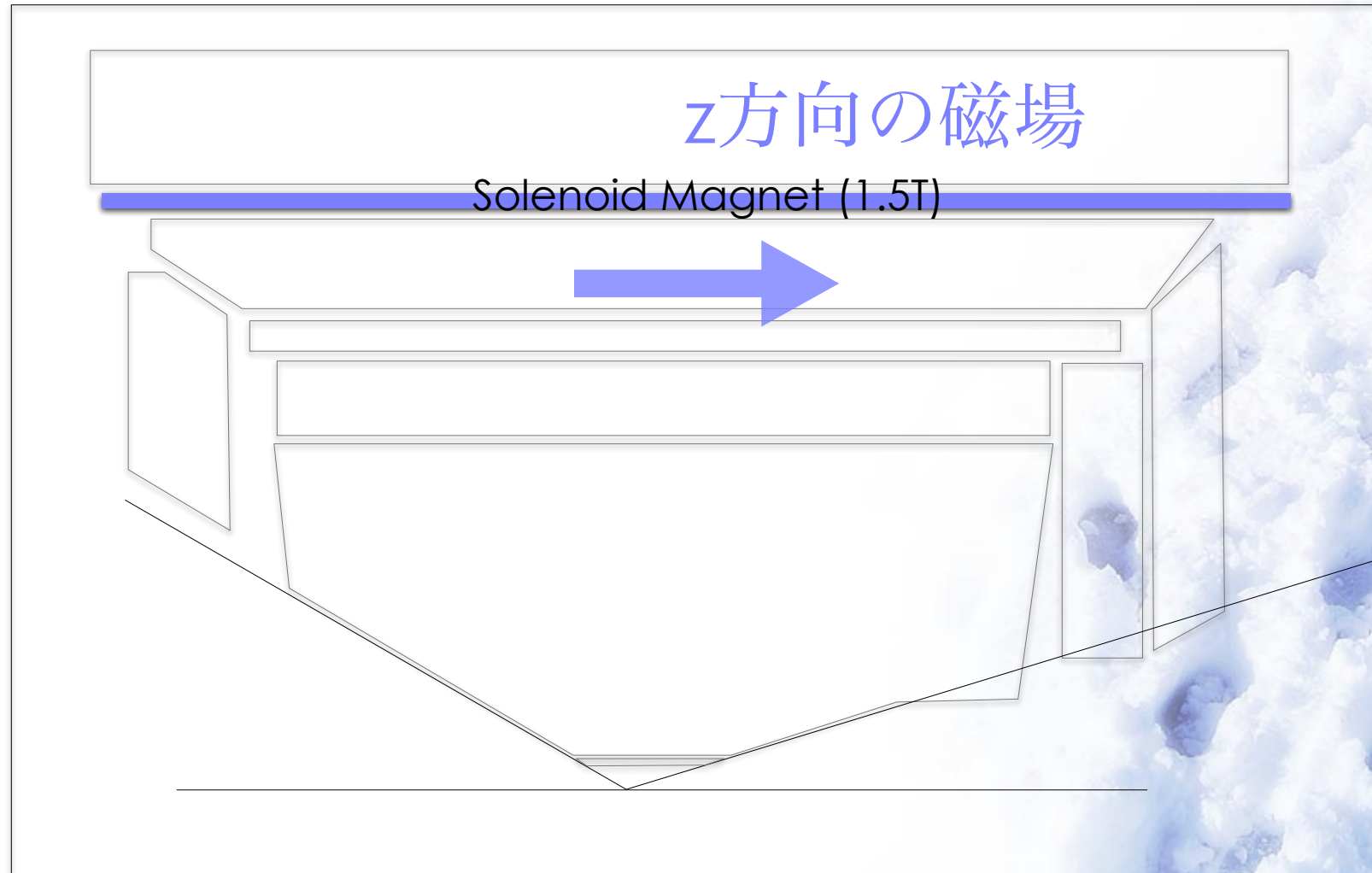
introduction

photonのエネルギー、
位置を測定





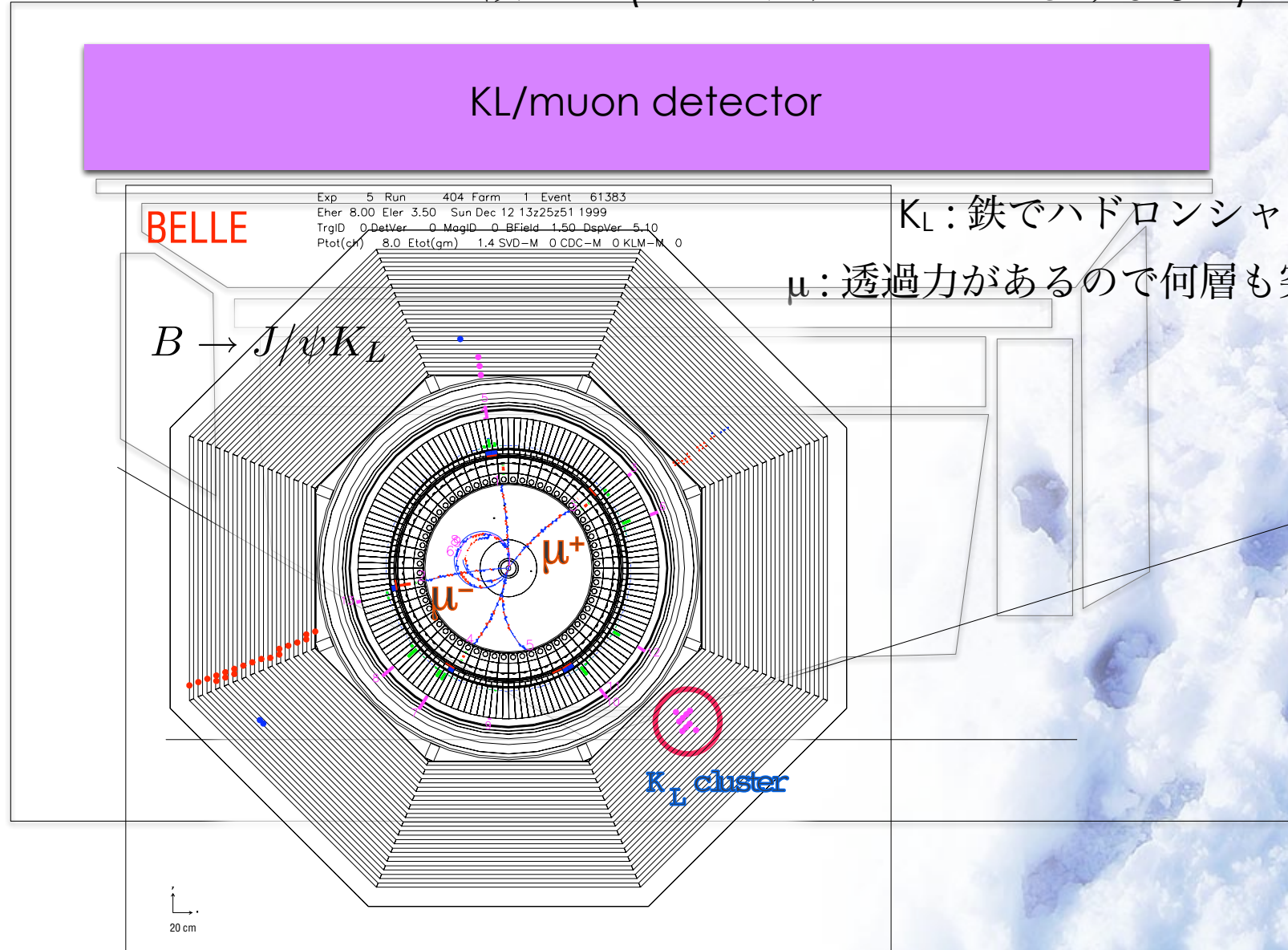
introduction





introduction

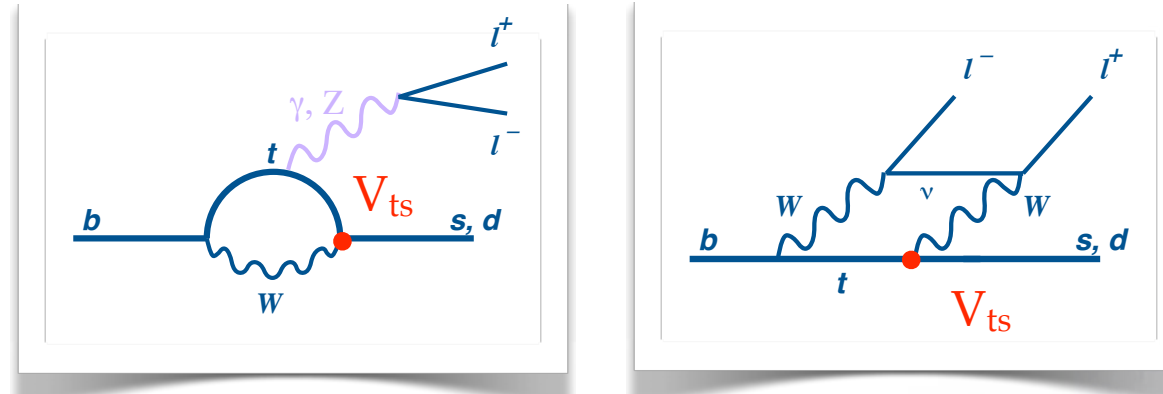
鉄+RPC(スパークチェンバーのようなもの)の層



B→Xsll



$B \rightarrow X_s l l$



$$V_{ts} \sim 10^{-2}$$

- ペンギン or ボックス ダイアグラム
- 豊富な観測量
 - Branching fraction ($10^{-7} \sim 10^{-6}$)
 - Isospin Asymmetry
 - Forward-Backward Asymmetry

$B \rightarrow X_s l\bar{l}$

- Wilson係数にも感度がある
 - Wilson係数はSMでは精度よく計算されている
 - new physicsの寄与はそこからのずれとして現れる
- 3つのWilson係数が寄与

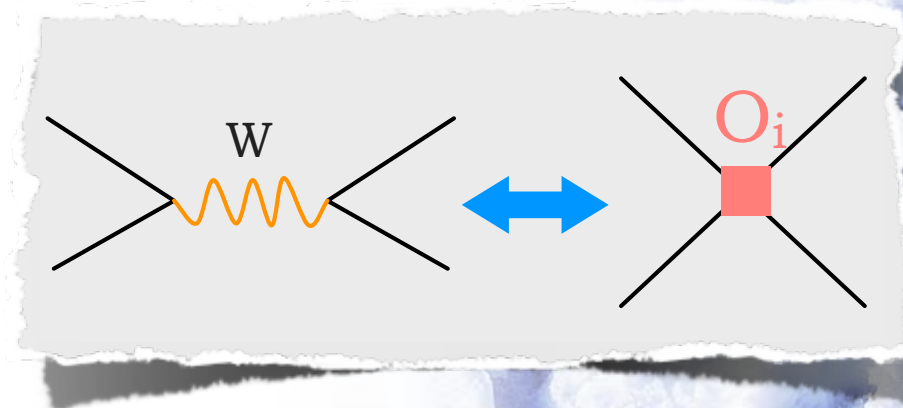


Operator Product Expansion

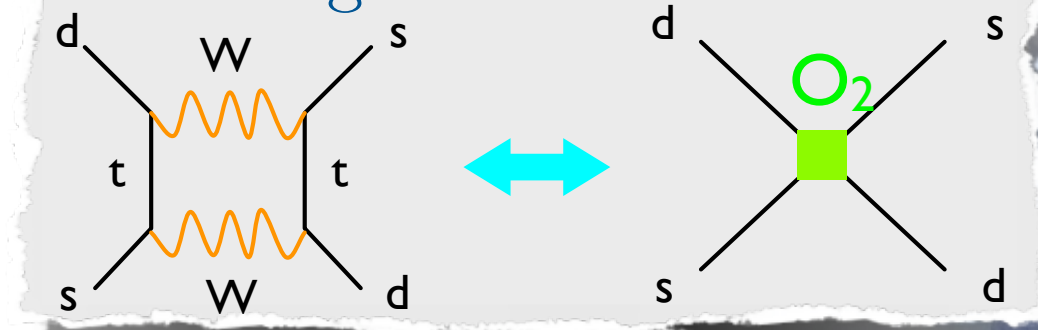
- Operator Product Expansion

- 実効オペレータ O_i と Wilson係数 C_i を使ってハミルトニアンを書き下す

$$H \sim \sum_i C_i O_i$$



$K^0 - \bar{K}^0$ mixing



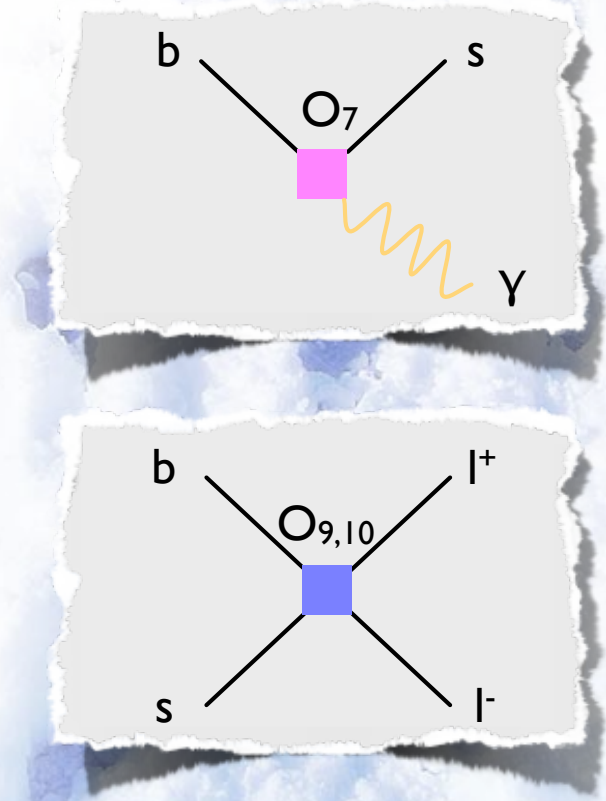
$B \rightarrow X s\bar{l}l$

- Wilson係数にも感度がある

- Wilson係数はSMでは精度よく計算されている
- new physicsの寄与はそこからのずれとして現れる

- 3つのWilson係数が寄与

- C_7 : electromagnetic penguin diagram
 - ◆ $|C_7| \sim 0.33$ from $B.F(B \rightarrow X s\gamma)$
 - ◆ $b \rightarrow s\bar{l}l$ は C_7 の符号に感度がある
- C_9 : vector part of weak diagram
- C_{10} : axial vector part of weak diagram





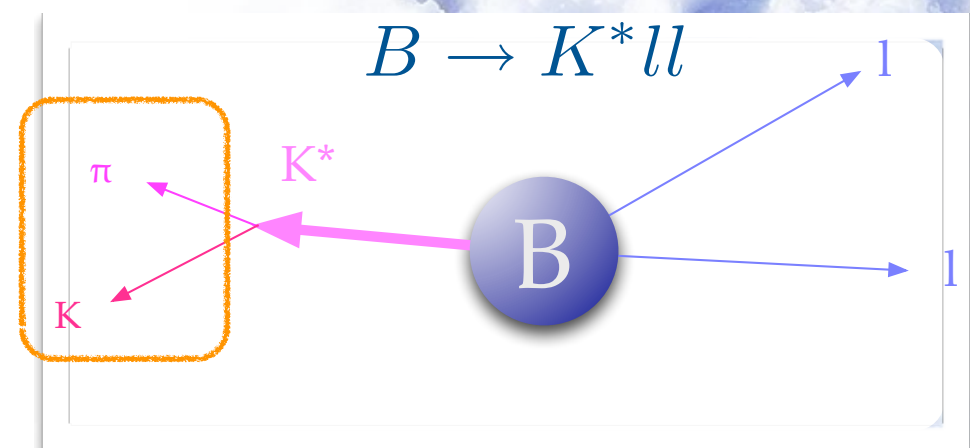
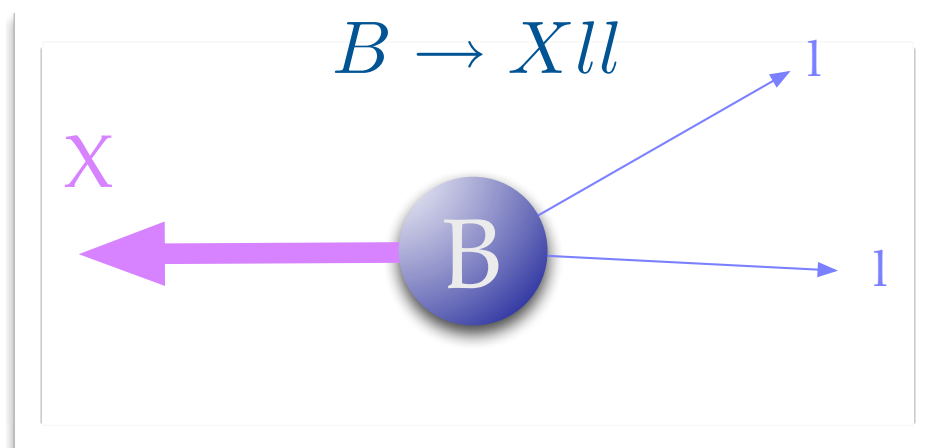
inclusive/exclusive

● Inclusive

- 反応 $a + b \rightarrow c + X$ において、 c のみを観測して X に含まれているいろいろな粒子を観測しないときこれを inclusive 反応と呼ぶ

● Exclusive

- これに対して、 $a + b \rightarrow c_1 + c_2 + \dots + c_n$ のように終状態の限定した粒子は全て観測する反応を exclusive 反応と呼ぶ



ref. leptons and quarks

exclusive $B \rightarrow K^{(*)} ll$



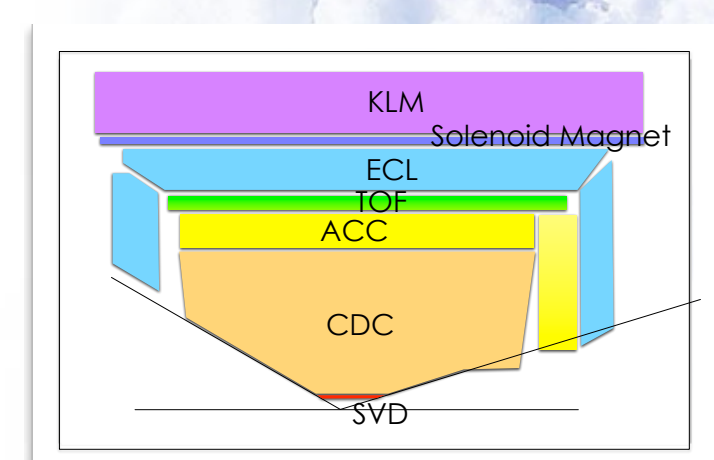
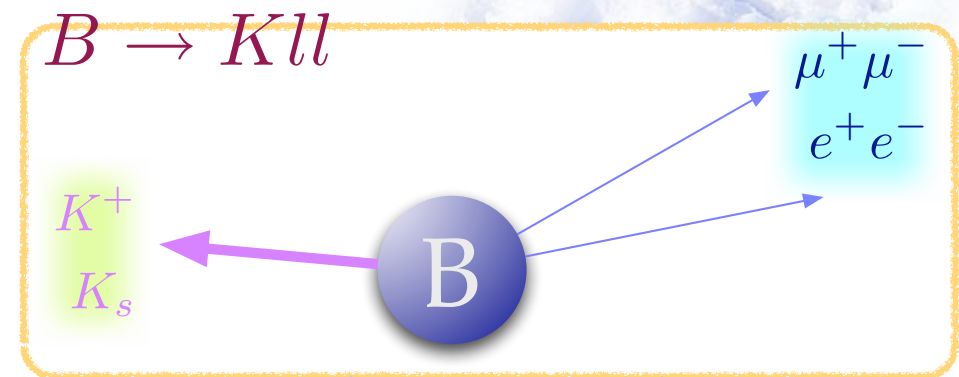
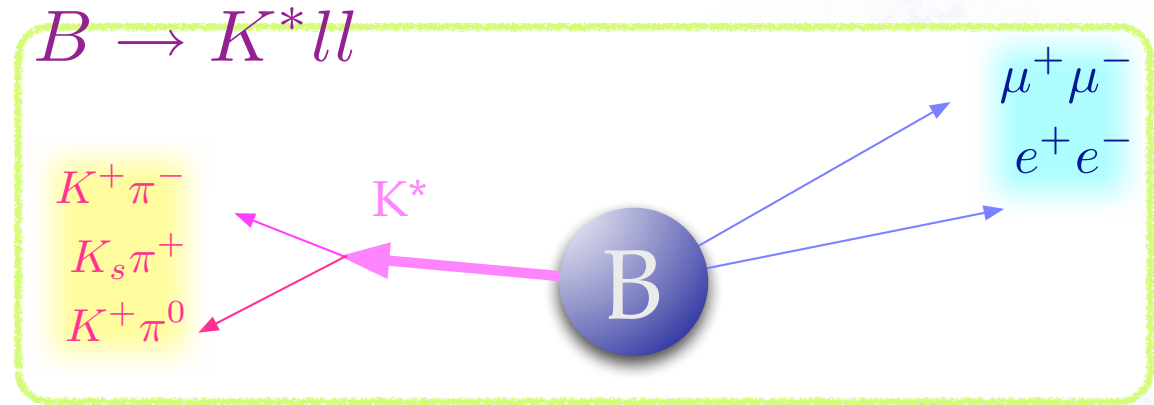
outline

- Event selection and reconstruction
- Background suppression
- Branching fraction
- Isospin Asymmetry
- Forward-backward asymmetry

exclusive mode $B \rightarrow K^{(*)} ll$

● Particle ID

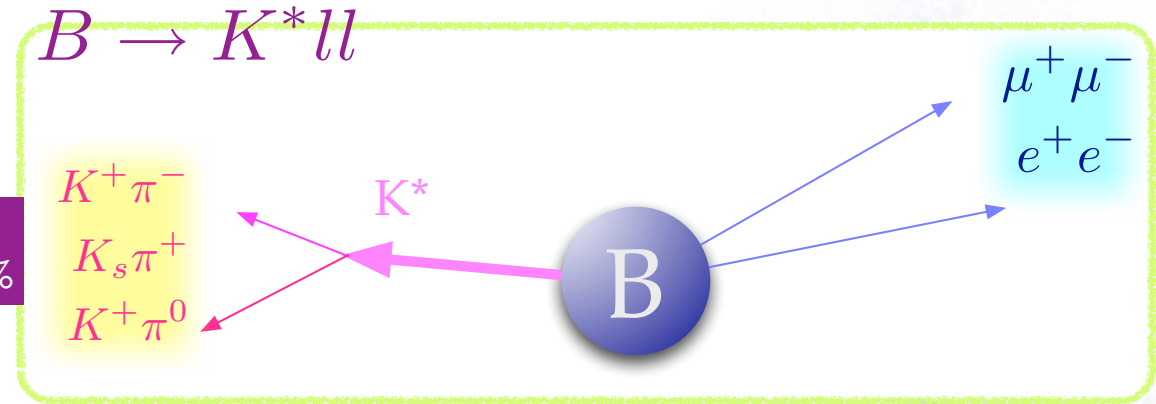
- K/π
 - ◆ CDC (dE/dx)
 - ◆ TOF
 - ◆ ACC (number of photoelectron: N_{pe})
- electron ID
 - ◆ ECL (position, shower shape)
 - ◆ CDC (dE/dx)
 - ◆ ACC (N_{pe})
- muon ID
 - ◆ KLM (range, hit position)
 - ◆ CDC (tracking)



exclusive mode $B \rightarrow K^{(*)} ll$

- Particle ID

- K/π pion : eff. 85% / fake rate 3%
kaon : eff. ~ 90% / fake rate 9%



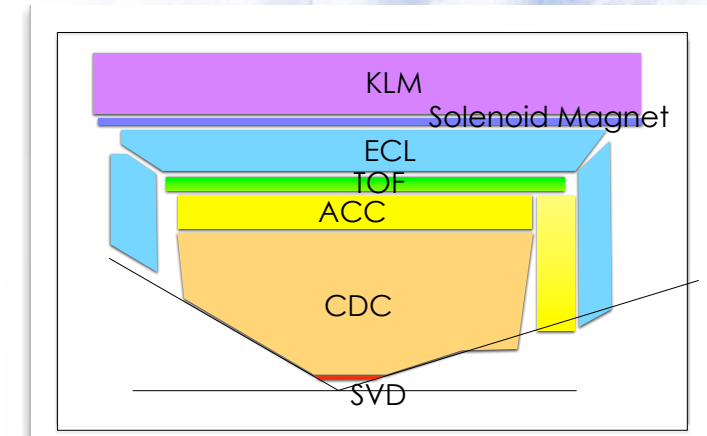
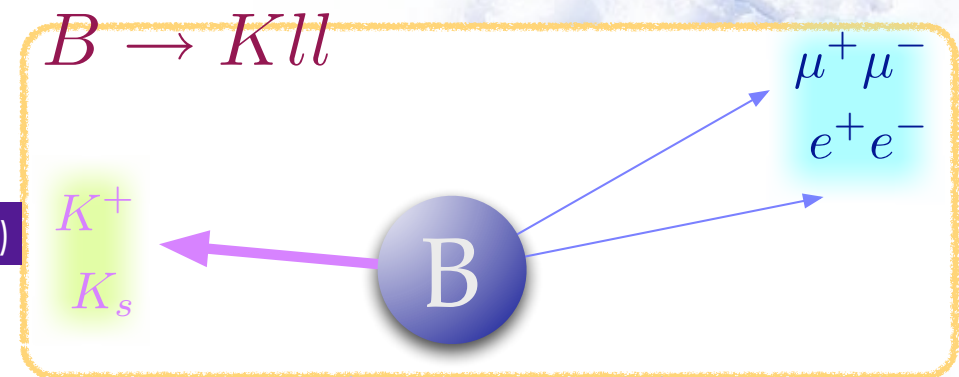
- ◆ CDC (dE/dx)
- ◆ TOF
- ◆ ACC (number of photoelectron: N_{pe})

- electron ID eff. 90% /fake rate 0.3% (as pion)

- ◆ ECL (position, shower shape)
- ◆ CDC (dE/dx)
- ◆ ACC (N_{pe})

- muon ID eff. 80% /fake rate 1.5% (as pion)

- ◆ KLM (range, hit position)
- ◆ CDC (tracking)



Reconstruction

- K_S

- $\pi\pi$ のうち崩壊点がIPから離れたもの
- $|M_{\pi\pi} - M_{K_S}| < 15 \text{ GeV}/c^2$

- neutral pion

- 2γ から再構成
- $115 < M_{\gamma\gamma} < 152 \text{ GeV}/c^2$

- K^*

- $M_{K\pi}$

Fitに用いる

(分岐比測定)

- B meson

$$M_{bc} = \sqrt{(E_{beam}^*/c^2)^2 - |\vec{p}_B^*/c|^2}$$
$$\Delta E = E_B^* - E_{beam}^*$$

$$5.27 \text{ GeV}/c^2 < M_{bc} < 5.29 \text{ GeV}/c^2$$

$$|M_{K\pi} - M_{K^*}| < 80 \text{ MeV}/c^2$$

$$5.2 \text{ GeV}/c^2 < M_{bc} < 5.29 \text{ GeV}/c^2$$

$$M_{K\pi} < 1.2 \text{ GeV}/c^2$$

$$|\Delta E| < 35 \text{ MeV} \text{ for } K^{(*)}\mu^+\mu^-$$

$$-55 < \Delta E < 35 \text{ MeV} \text{ for } K^{(*)}e^+e^-$$

Background suppression

- continuum
- B のセミレプトニック崩壊
- $B \rightarrow J/\psi(\rightarrow l\bar{l}) K^{(*)}, \psi(\rightarrow l\bar{l}) K^{(*)}$

Background suppression

● continuum background

- $e^+e^- \rightarrow q\bar{q}$ ($q=u,d,s,c$)
- 終状態に運動量の大きなKaonやpionをたくさん作る
- 数が多い (~ $\times 3$)

	BB event	continuum event
崩壊点の差 Δz	$c\tau\beta\gamma \sim 200\mu\text{m}$	~ 0 (ほぼ一点から)
崩壊生成物 (event shape)	等方的(B は重いのでほぼ静止)	2ジェット状(軽いクォークが大きな運動量を持つ)
崩壊角分布 θ_B	$\sin^2\theta$ ($Y(4S)(J=1), B(J=0)$)	$\sim \text{uniform}$ (ランダムな組み合わせ)

Background suppression

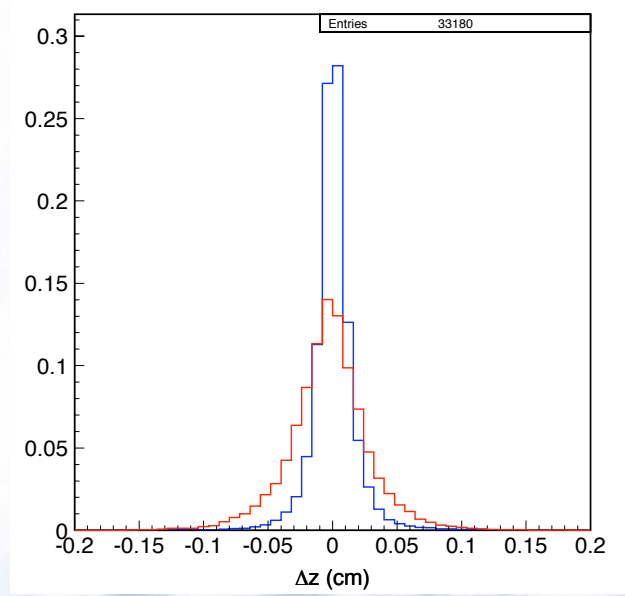
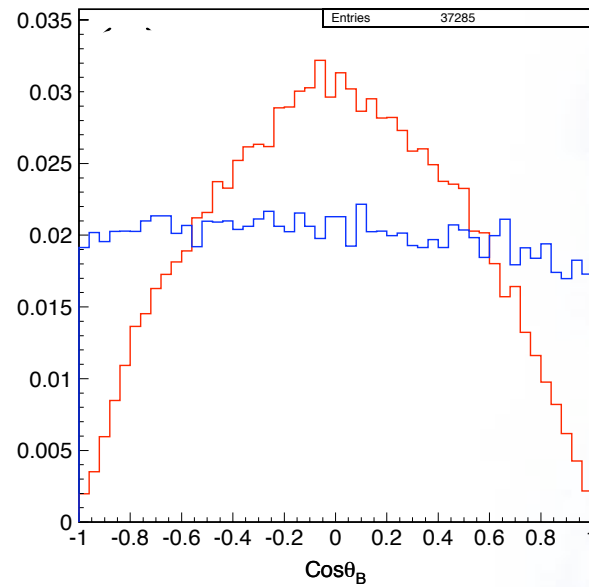
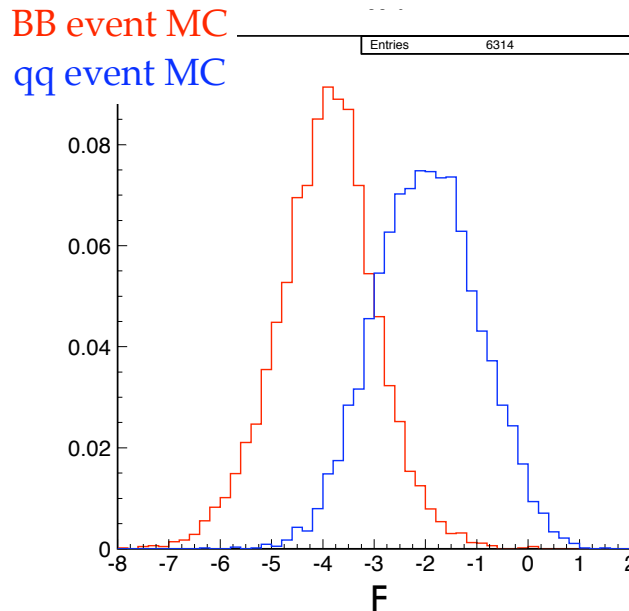
● Event shape

- 終状態粒子の運動量の情報を使う
- Fox-Wolfram momentを応用して、18個の変数(x_k)を定義、signalとbackgroundの分離が最適となる係数(Fisher discriminant: F)を計算
($F = \sum \alpha_k x_k$)

Fox-Wolfram moment

$$R_l = \frac{\sum |p_i||p_j|P_l(\cos\theta_{ij})}{\sum |p_i||p_j|}$$
$$R_2 = \frac{\sum |p_i||p_j|\cos\theta_{ij}}{\sum |p_i||p_j|} = \frac{\sum p_i \cdot p_j}{\sum |p_i||p_j|}$$

$R_2 = 0$ for BB event
 $R_2 = 1$ for qq event



Background suppression

● Bのセミレプトニック崩壊

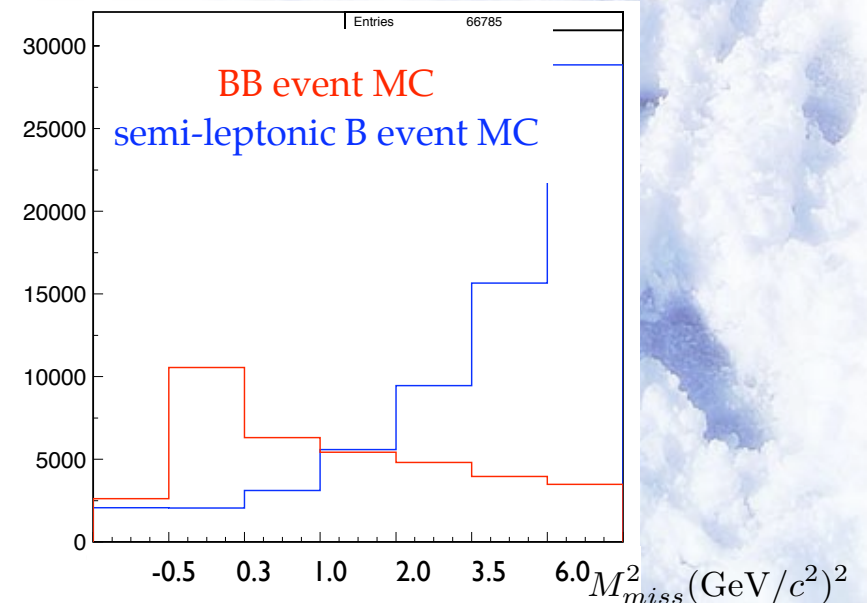
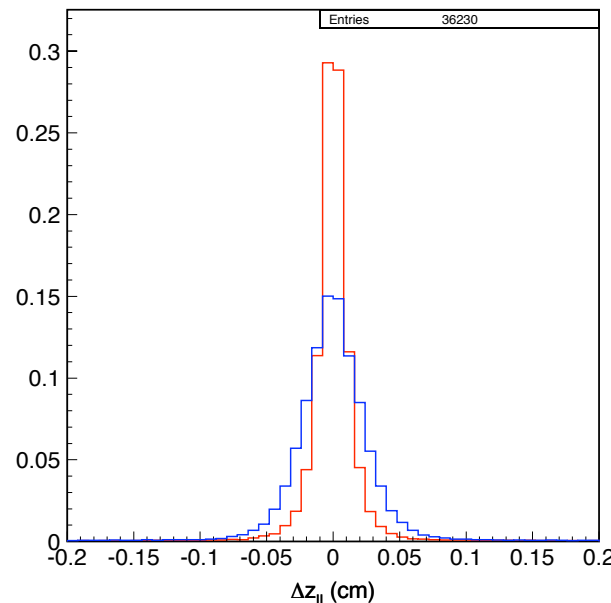
- ニュートリノが2つ以上
- missing massが有効な変数
- lepton vertex, Fisher

$B\bar{B}$ が...

$$b \rightarrow cl^-\bar{\nu}$$
$$\bar{b} \rightarrow \bar{c}l^+\nu$$

ひとつの B が

$$b \rightarrow cl^-\bar{\nu}$$
$$c \rightarrow sl^-\nu$$



Background suppression

- $B \rightarrow J/\psi (\rightarrow l\bar{l}) K^{\ast} , \psi (\rightarrow l\bar{l}) K^{\ast}$
 - 終状態の粒子の組み合わせが signalと同じ
 - 運動学的な変数が signal に似たピークを作る
 - フィットで分離しにくい
 - di-leptonのinvariant mass が J/ψ や ψ の付近にある事象は除く

Results

- data set = 657×10^6 B中間子対
- Branching fraction
 - $q^2=(M_{\parallel})$ の関数として微分分岐比を求めるため q^2 を6ビンに分割
- Isospin asymmetry
- Forward-backward asymmetry
-

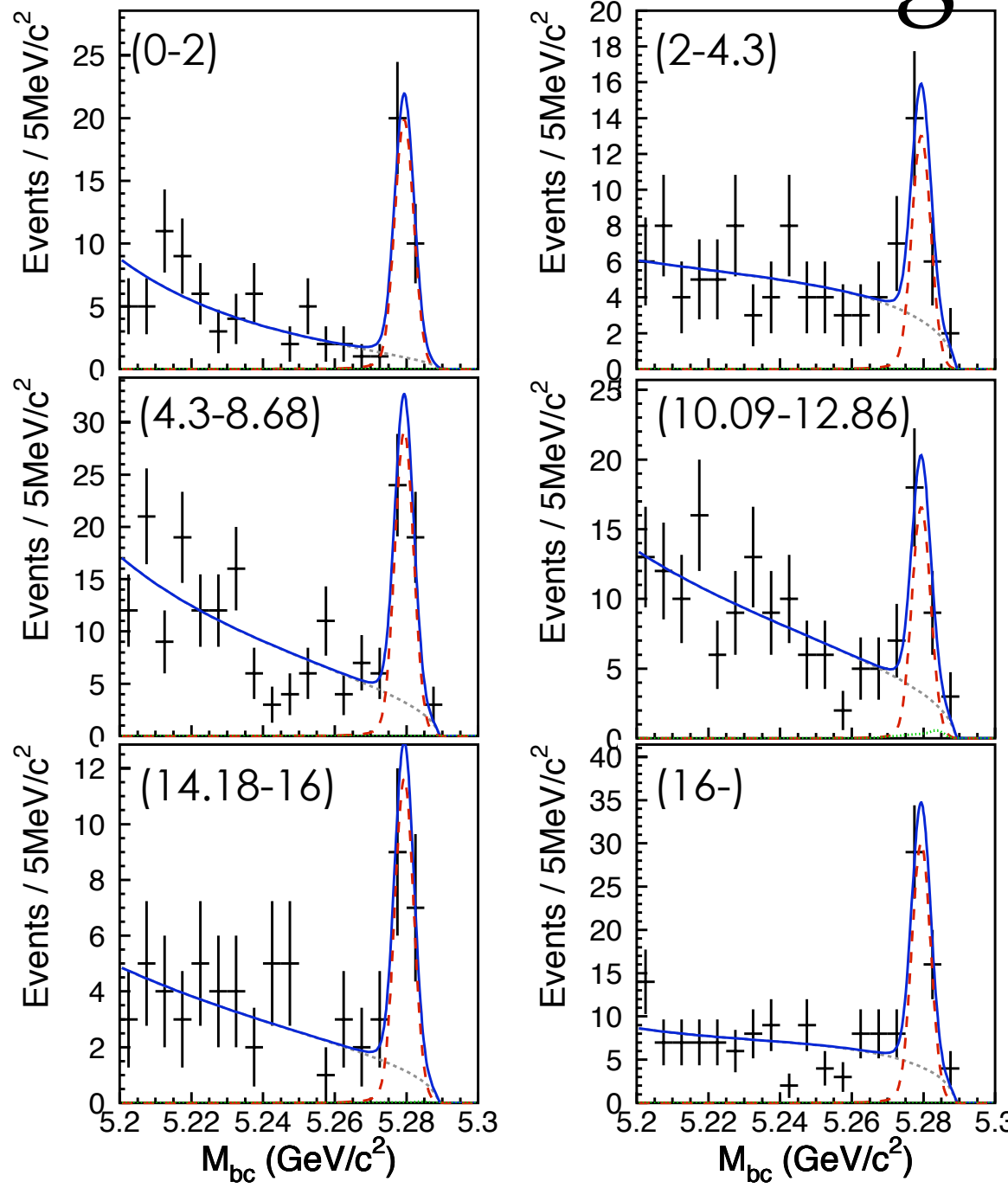
Results

- data set = 657×10^6 B中間子対
- Branching fraction
 - $q^2 = (M_{ll}C^2)$ の関数として微分分岐比を求めるため q^2 を 6 ビンに分割
- Isospin asymmetry
- Forward-backward asymmetry
-

比をとることで理論の不定性を
ある程度キャンセルできる
(系統誤差も)

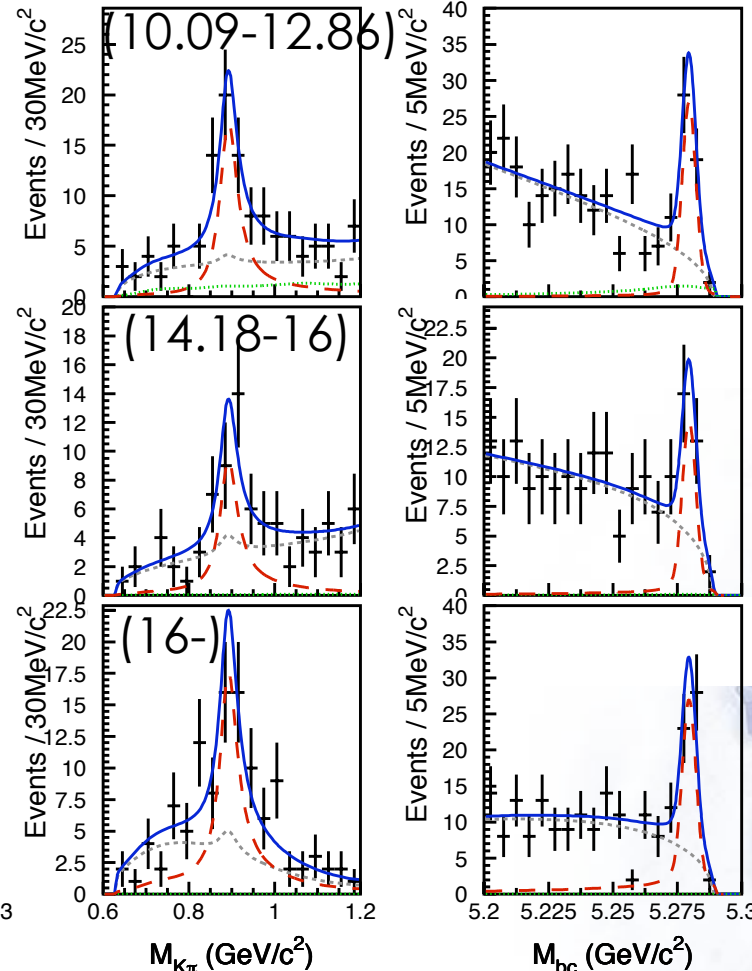
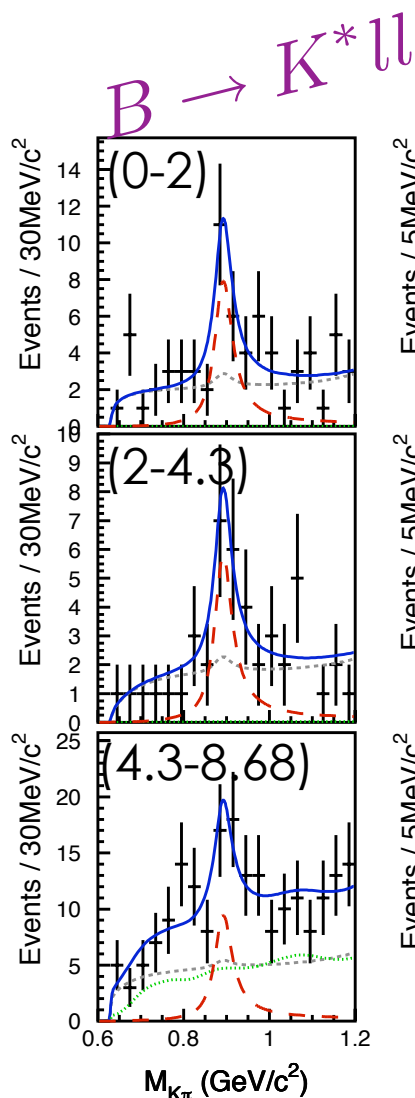
$B \rightarrow K ll$

Branching fraction



total
signal (ガウス分布)
continuum+semi-leptonic B decay
(threshold関数(ARGUS))
 $J/\psi(\psi)X$ background
(MC)

Branching fraction



For $M_{K\pi}$

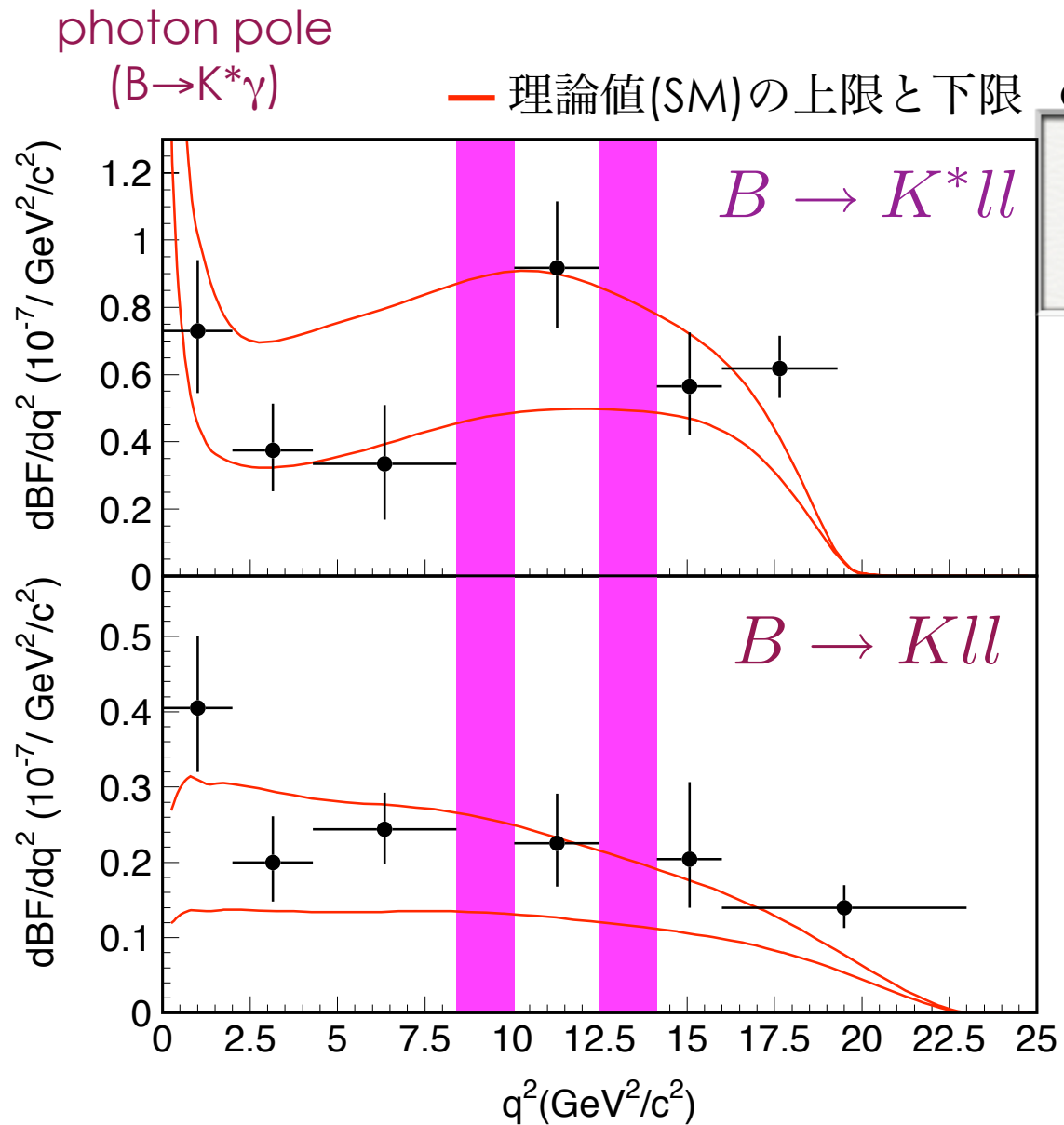
total (blue solid)

signal (Breit-Wigner) (red dashed)

continuum+semi-leptonic B decay (threshold関数+Breit-Wigner) (grey dash-dotted)

$J/\psi(\psi)X$ background (MC) (green dotted)

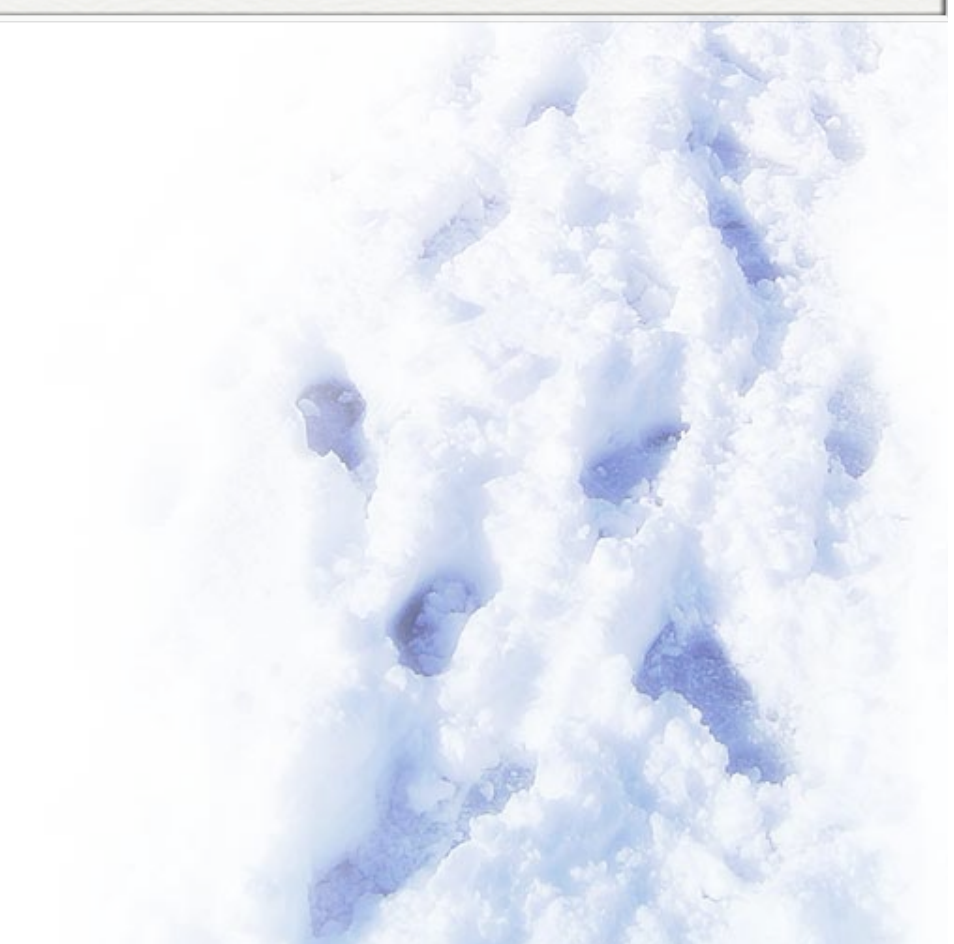
Branching fraction



entire region

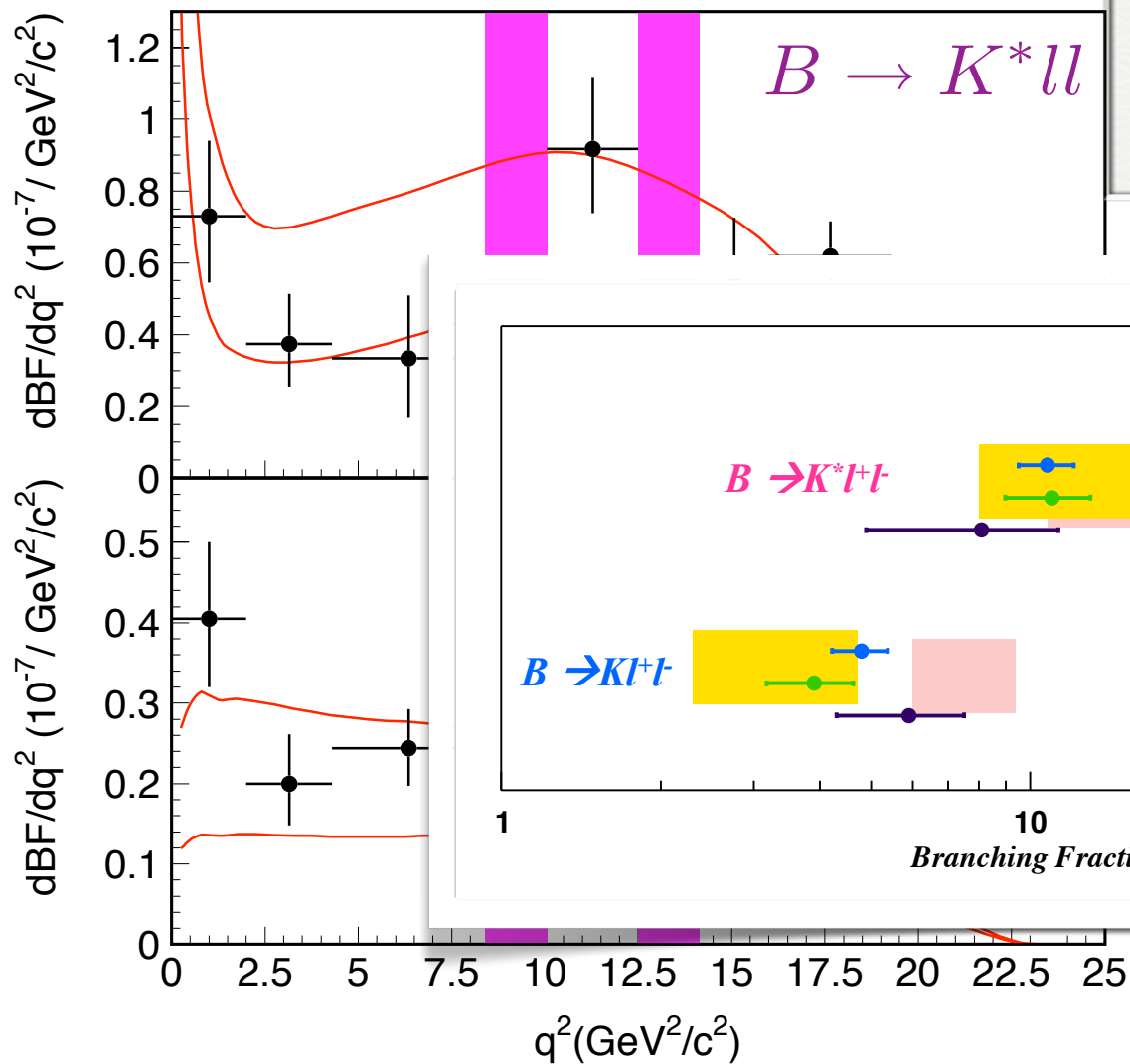
$$\mathcal{B}(B \rightarrow K ll) = (4.8_{-0.4}^{+0.5} \pm 0.3) \times 10^{-7}$$

$$\mathcal{B}(B \rightarrow K^* ll) = (10.7_{-1.0}^{+1.1} \pm 0.9) \times 10^{-7}$$



Branching fraction

— 理論値(SM)の上限と下限



entire region

$$\mathcal{B}(B \rightarrow K ll) = (4.8_{-0.4}^{+0.5} \pm 0.3) \times 10^{-7}$$

$$\mathcal{B}(B \rightarrow K^* ll) = (10.7_{-1.0}^{+1.1} \pm 0.9) \times 10^{-7}$$

● Belle
● Babar
● CDF

█ Ali et al:
PRD66, 034002 (2002)

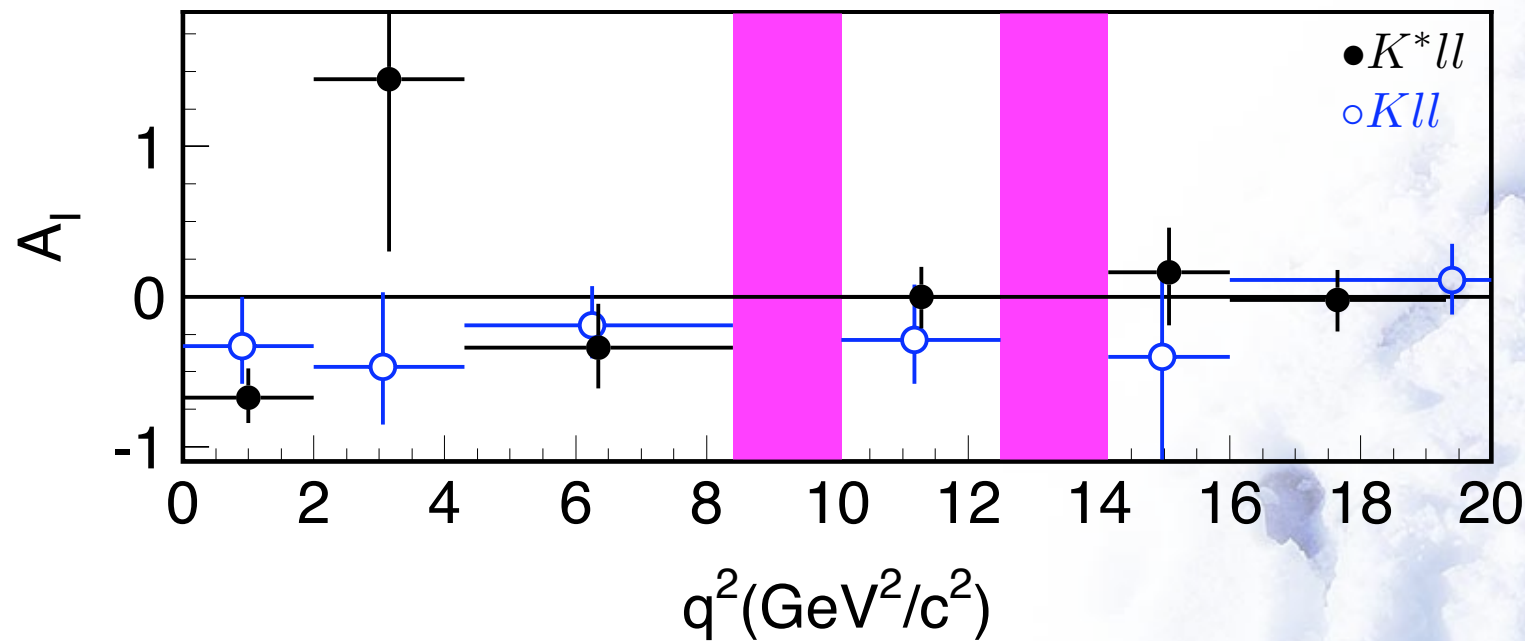
█ Zhong et al:
IJMO A18, 1959 (2003)

$\times 10^{-7}$

Branching Fraction

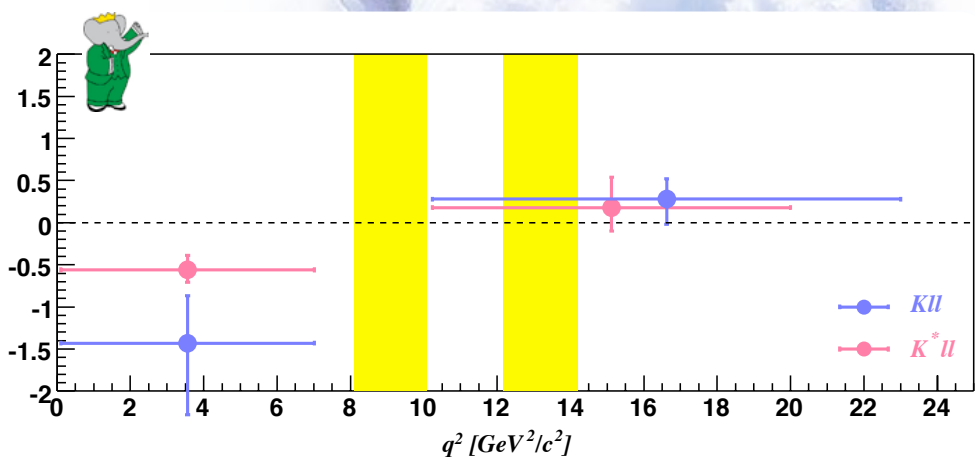
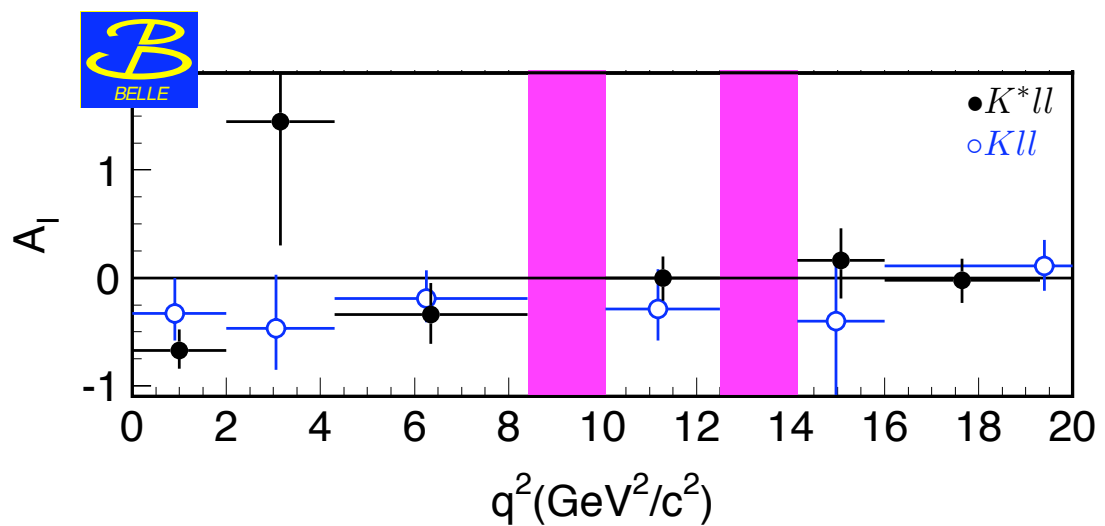
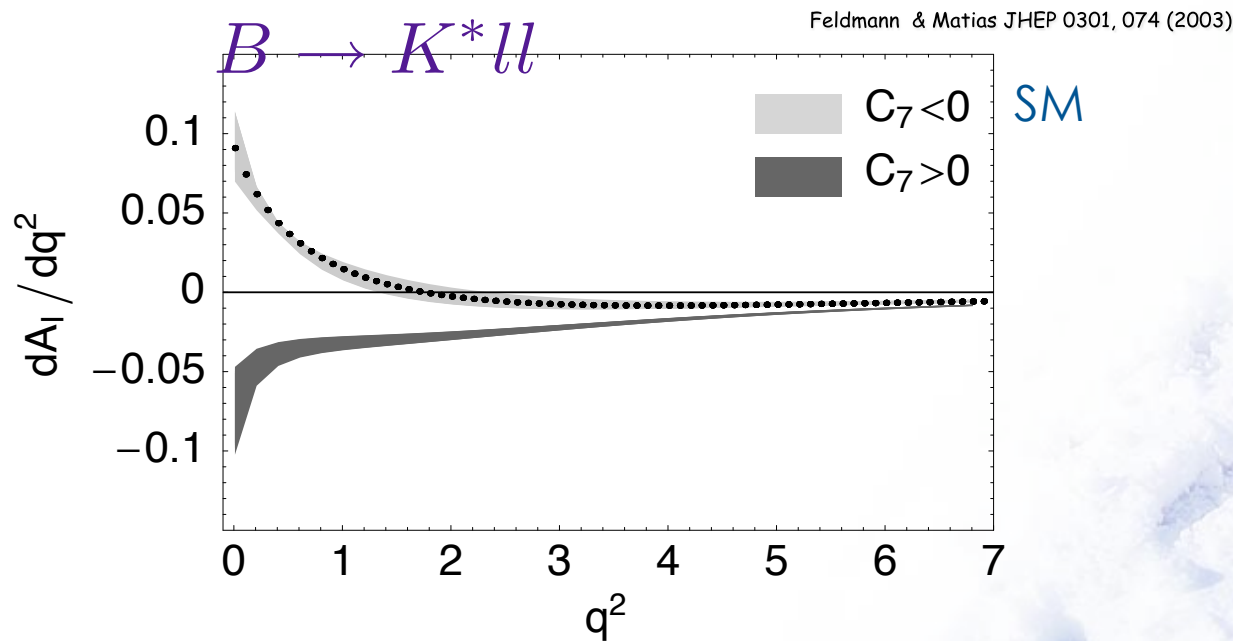
isospin asymmetry

$$A_I = \frac{(\tau_{B^+})/(\tau_{B^0})\mathcal{B}(K^{(*)0}l^+l^-) - \mathcal{B}(K^{(*)\pm}l^+l^-)}{(\tau_{B^+})/(\tau_{B^0})\mathcal{B}(K^{(*)0}l^+l^-) + \mathcal{B}(K^{(*)\pm}l^+l^-)}$$



- SMでは A_I は小さい<10%

isospin asymmetry



$B \rightarrow K^* ll$ angular analysis

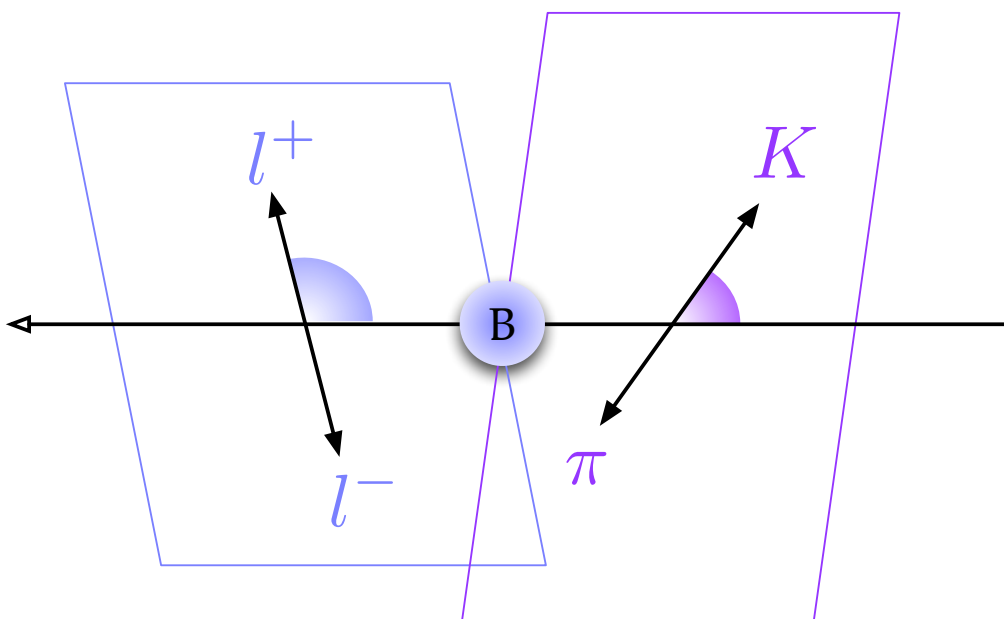
F_L や A_{FB} からWilson係数を
決定することができる

- K^* 偏極度(F_L)

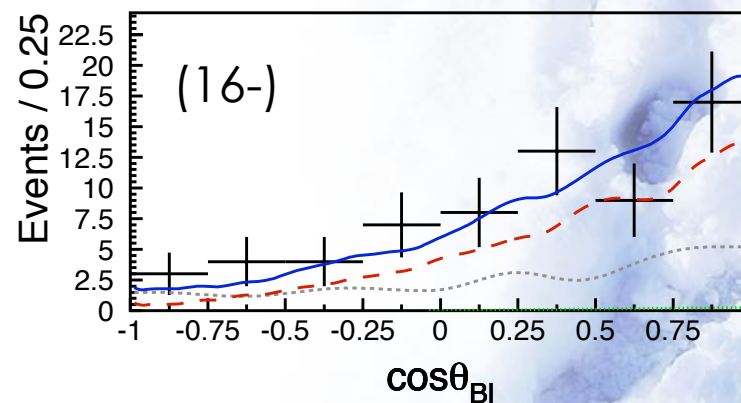
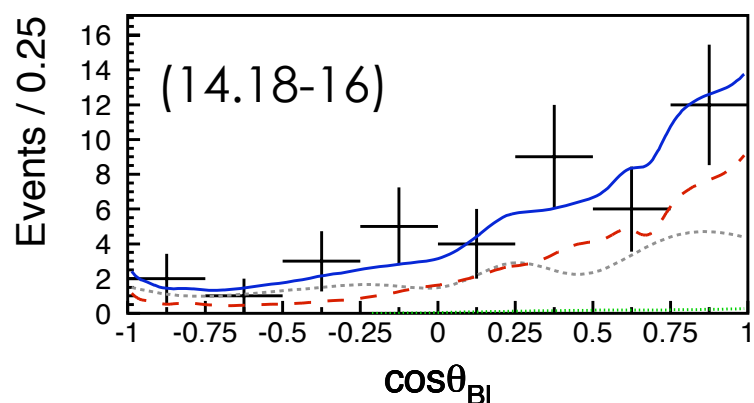
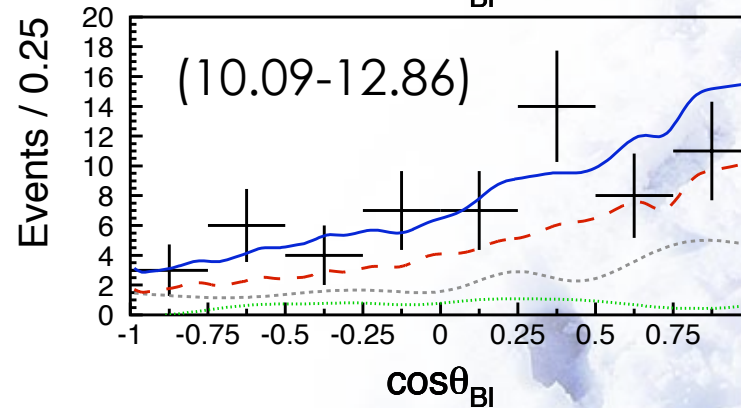
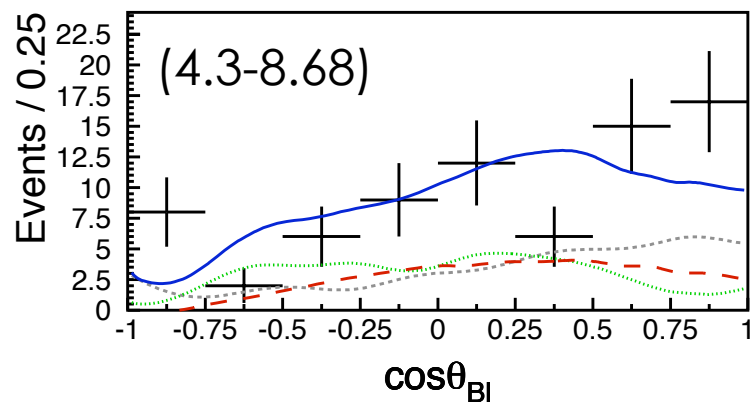
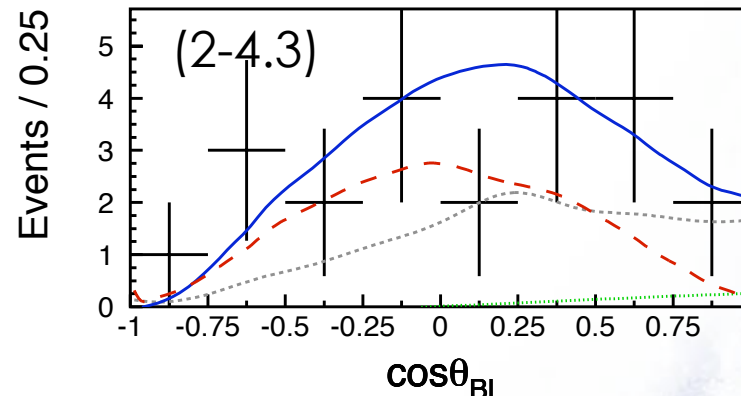
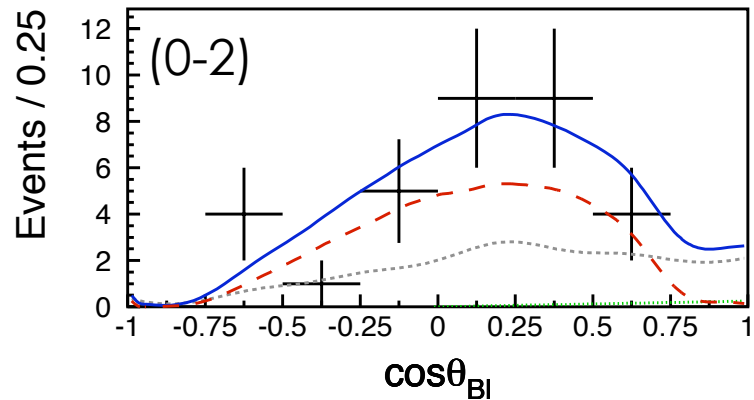
$$\frac{d\Gamma}{d\cos\theta_{K^*}} = \frac{3}{2}F_L \cos^2\theta_{K^*} + \frac{3}{4}(1 - F_L)\sin^2\theta_{K^*}$$

- Forward-backward Asymmetry (A_{FB})

$$\frac{d\Gamma}{d\cos\theta_{Bl}} = \frac{3}{4}F_L \sin^2\theta_{Bl} + \frac{3}{8}(1 - F_L)(1 + \cos^2\theta_{Bl}) + A_{FB}\cos\theta_{Bl}$$

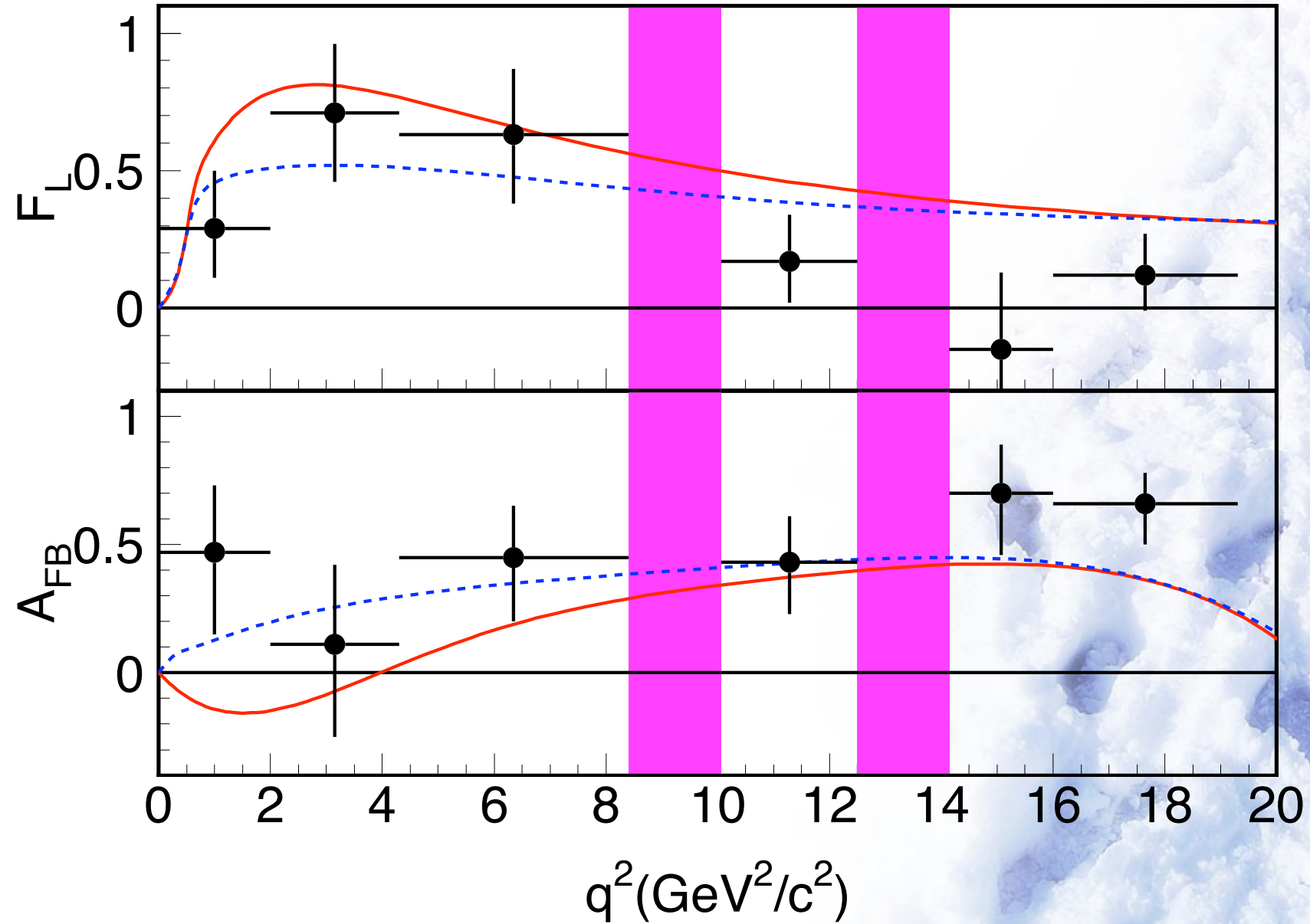


angular analysis

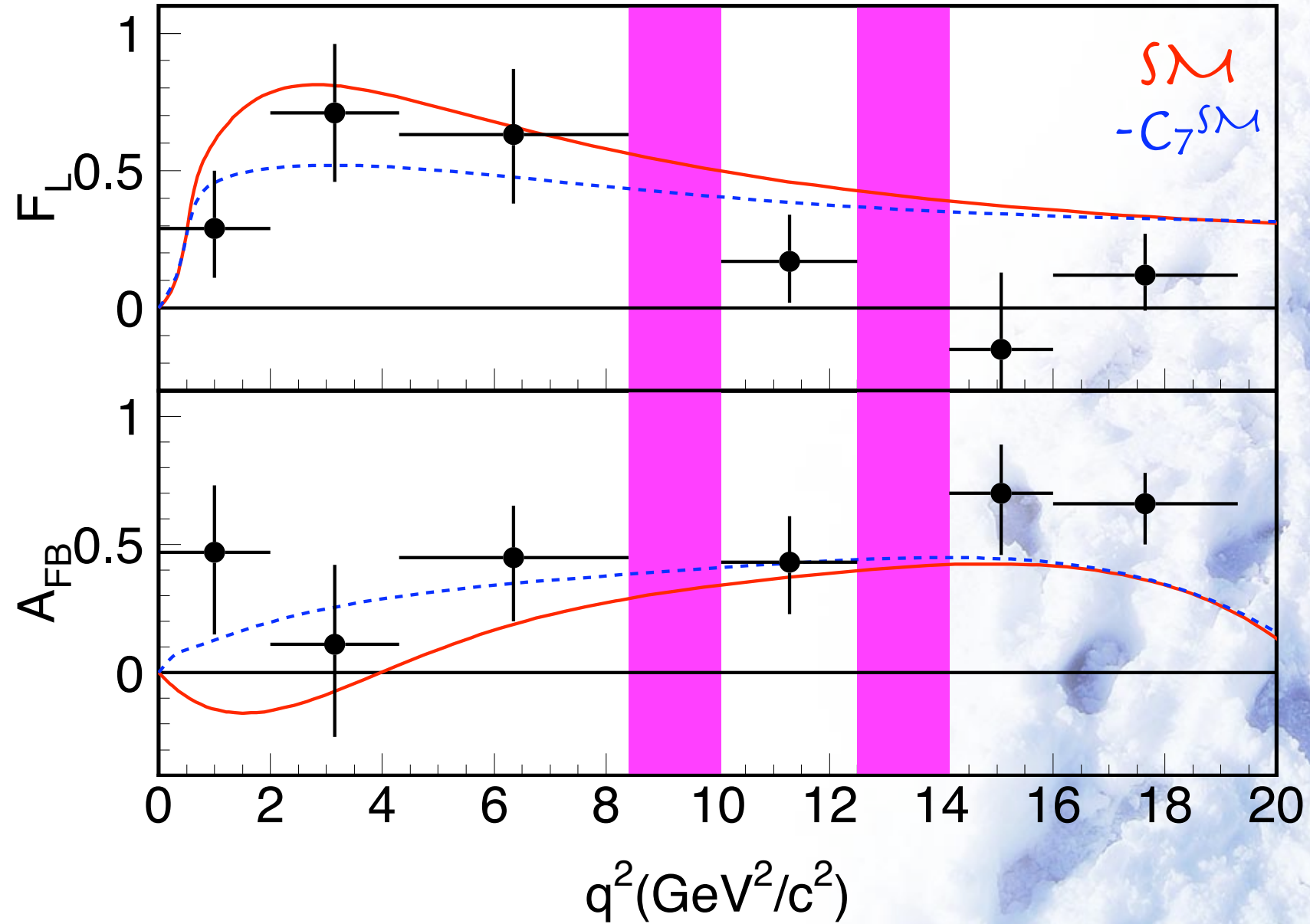


F_{AB} のみ
float

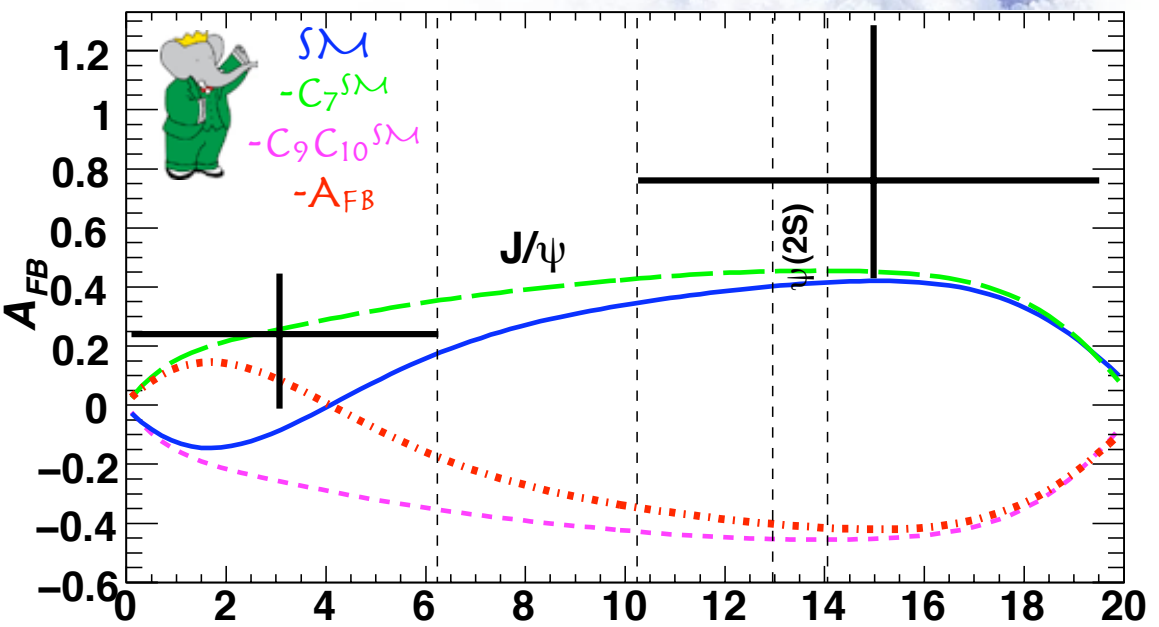
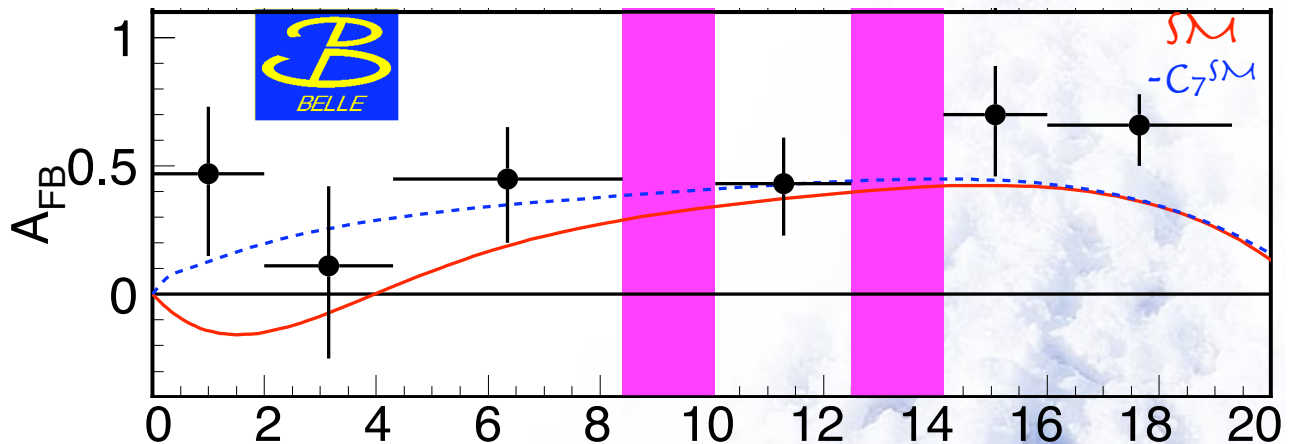
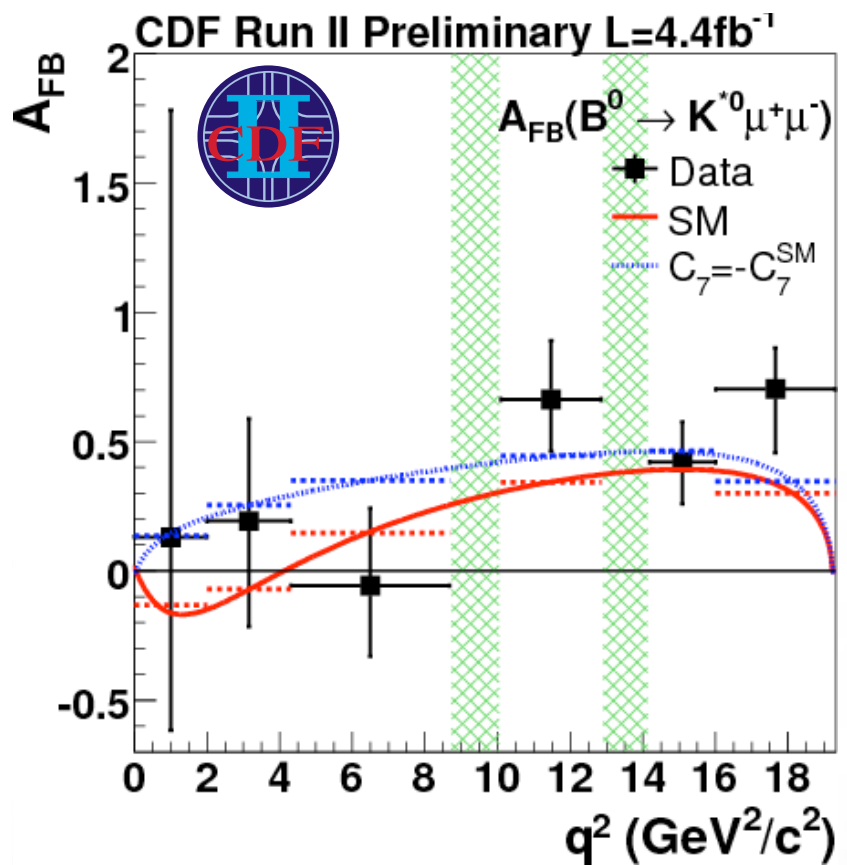
F_L and A_{FB}



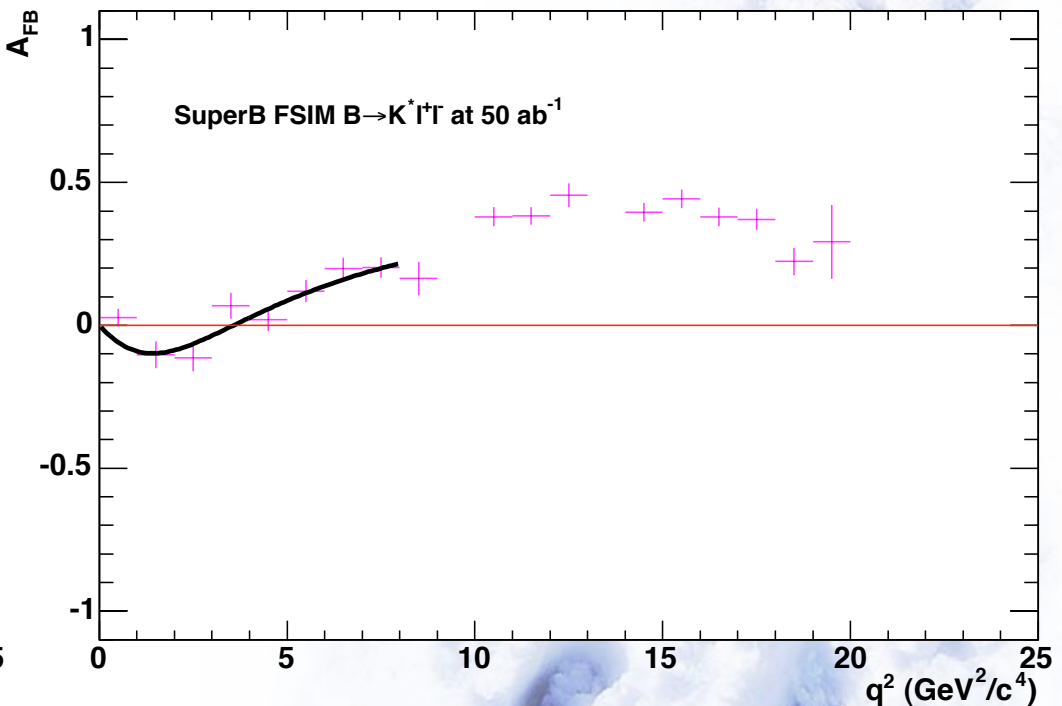
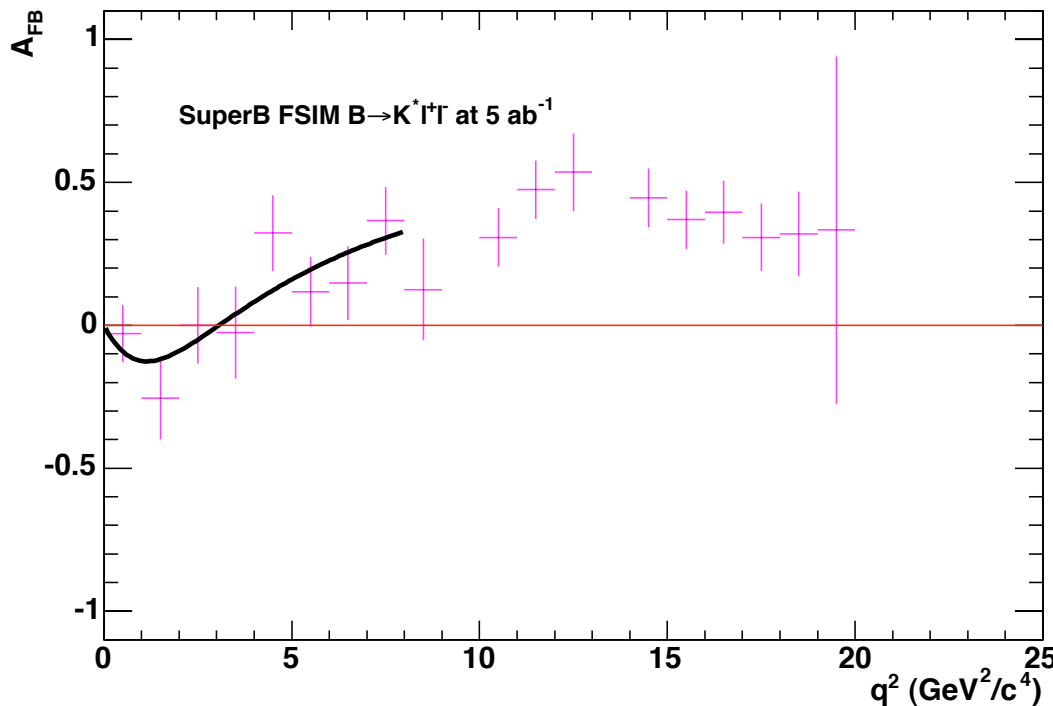
F_L and A_{FB}

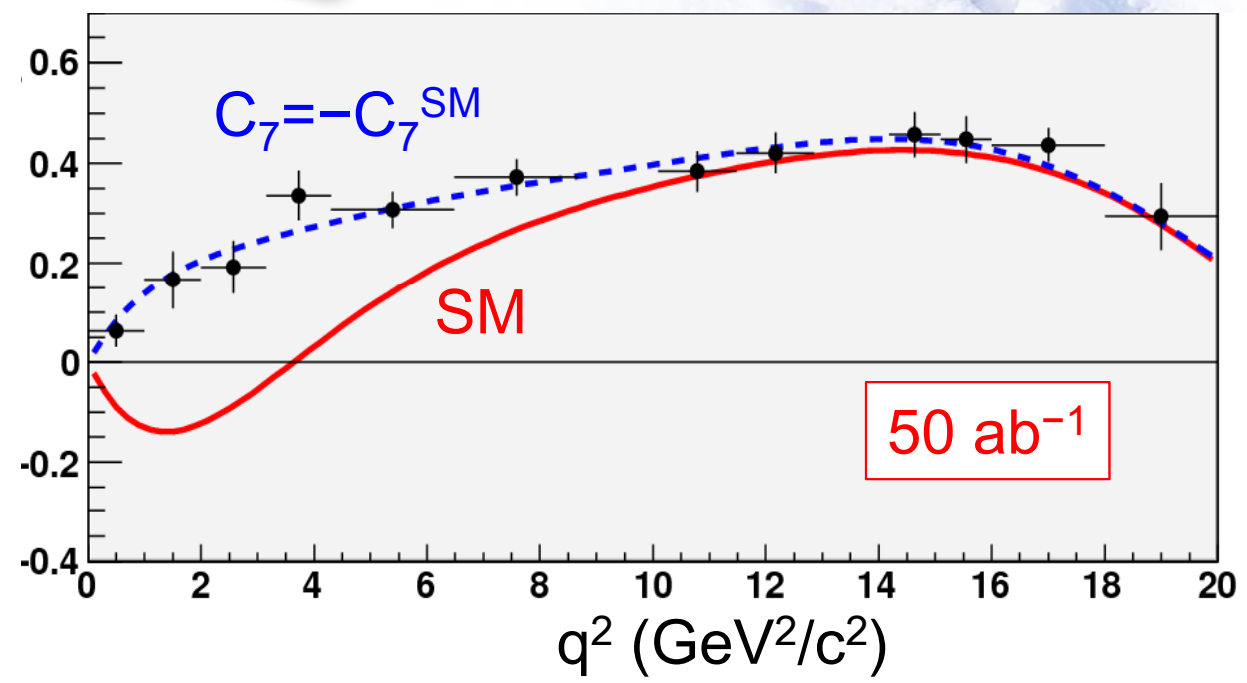
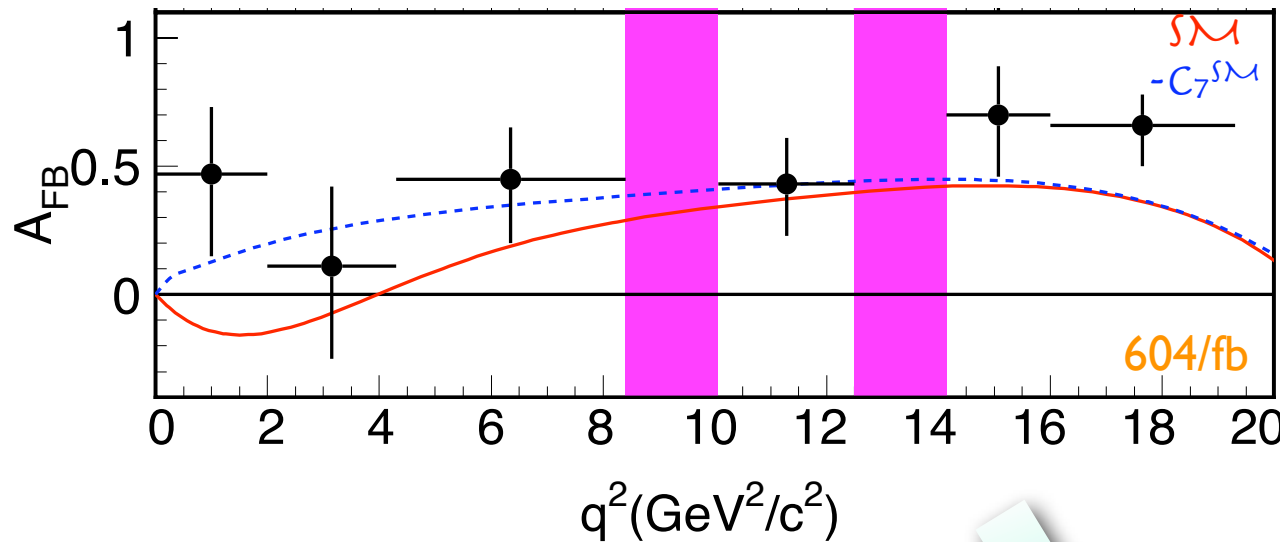


comparison

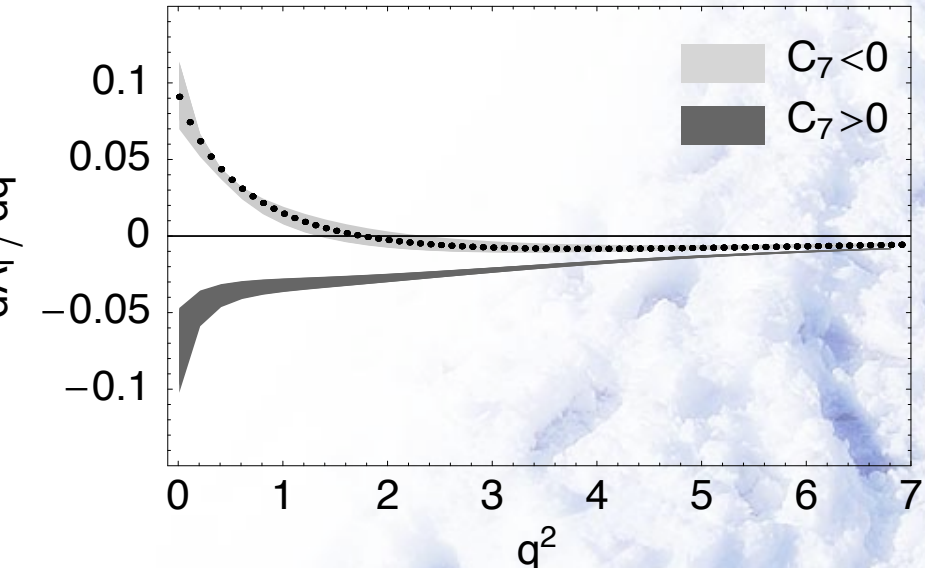
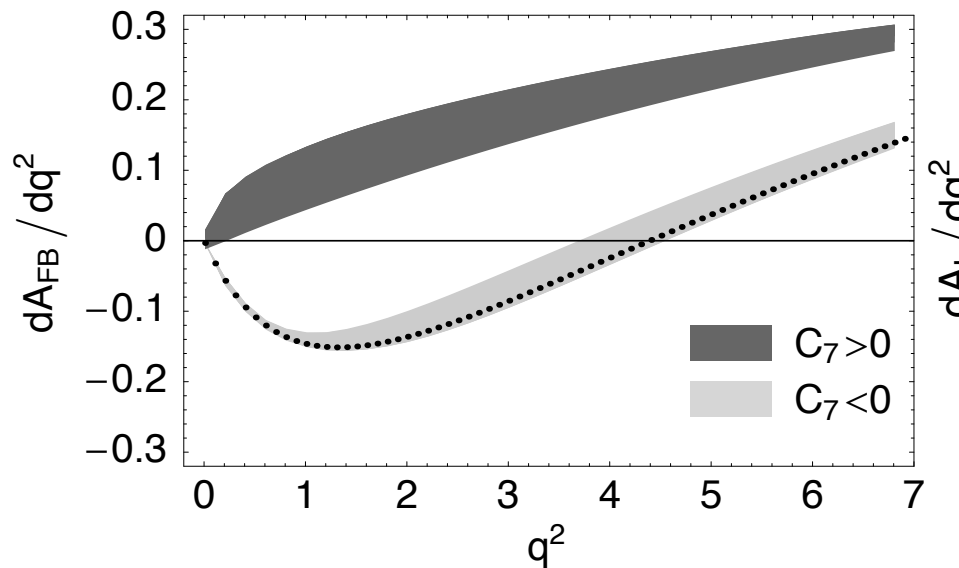


SuperKEKB / Belle II





New Physics Scenario



● Minimum Flavor Violation

- flavor transitionはCKM起源, 最低限のSUSY
- SUSY mass ~1TeV(heavy)
 - ◆ charged Higgs, stop ~ 数百GeV

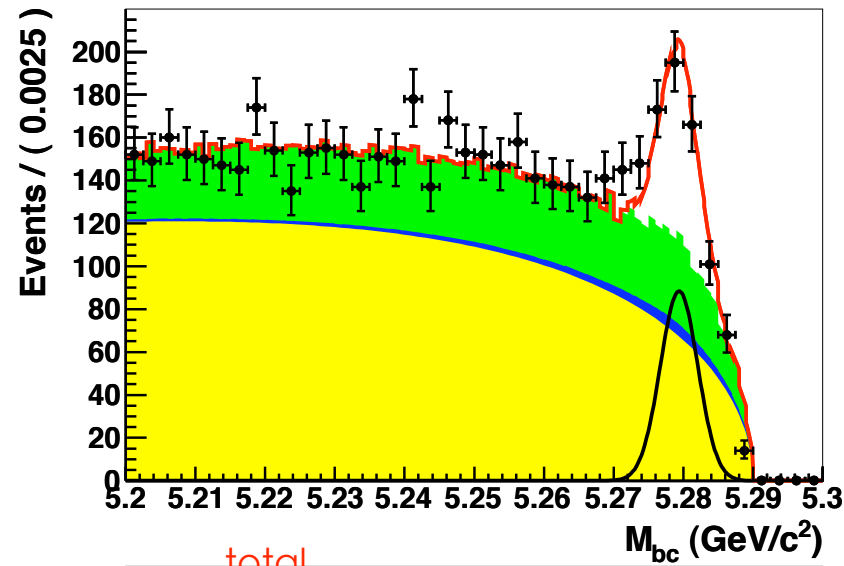


inclusive $B \rightarrow X s\bar{l}l$

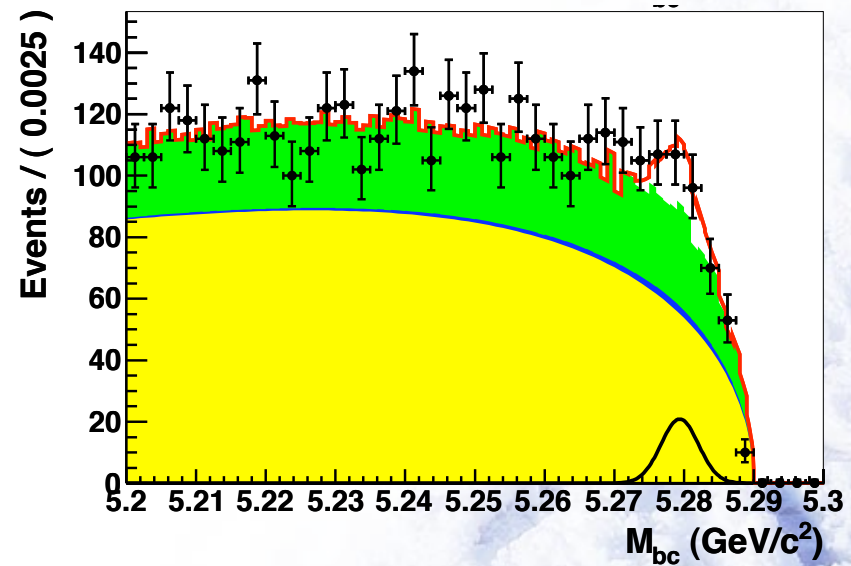


preliminary

inclusive $B \rightarrow X_s ll$



continuum+semi-leptonic B decay
 $J/\psi(\psi)X$ background



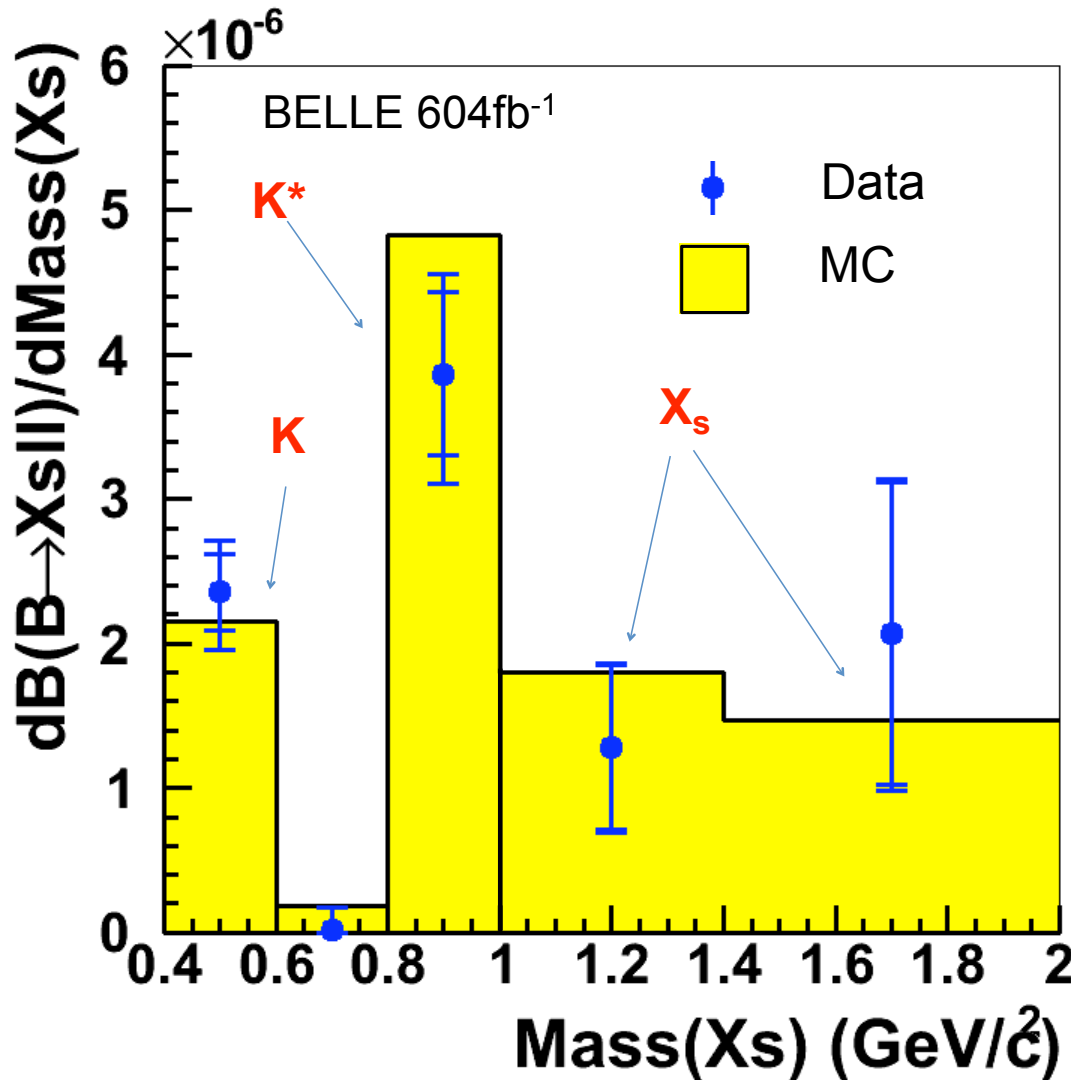
- semi-inclusive

- 36のexclusiveモードの和: $K/K_s + 0-4\pi + \text{lepton pair}$

$M_{X_s} > 1.0\text{GeV}$ で初めて 3σ のeventを観測

preliminary

inclusive $B \rightarrow X_s ll$

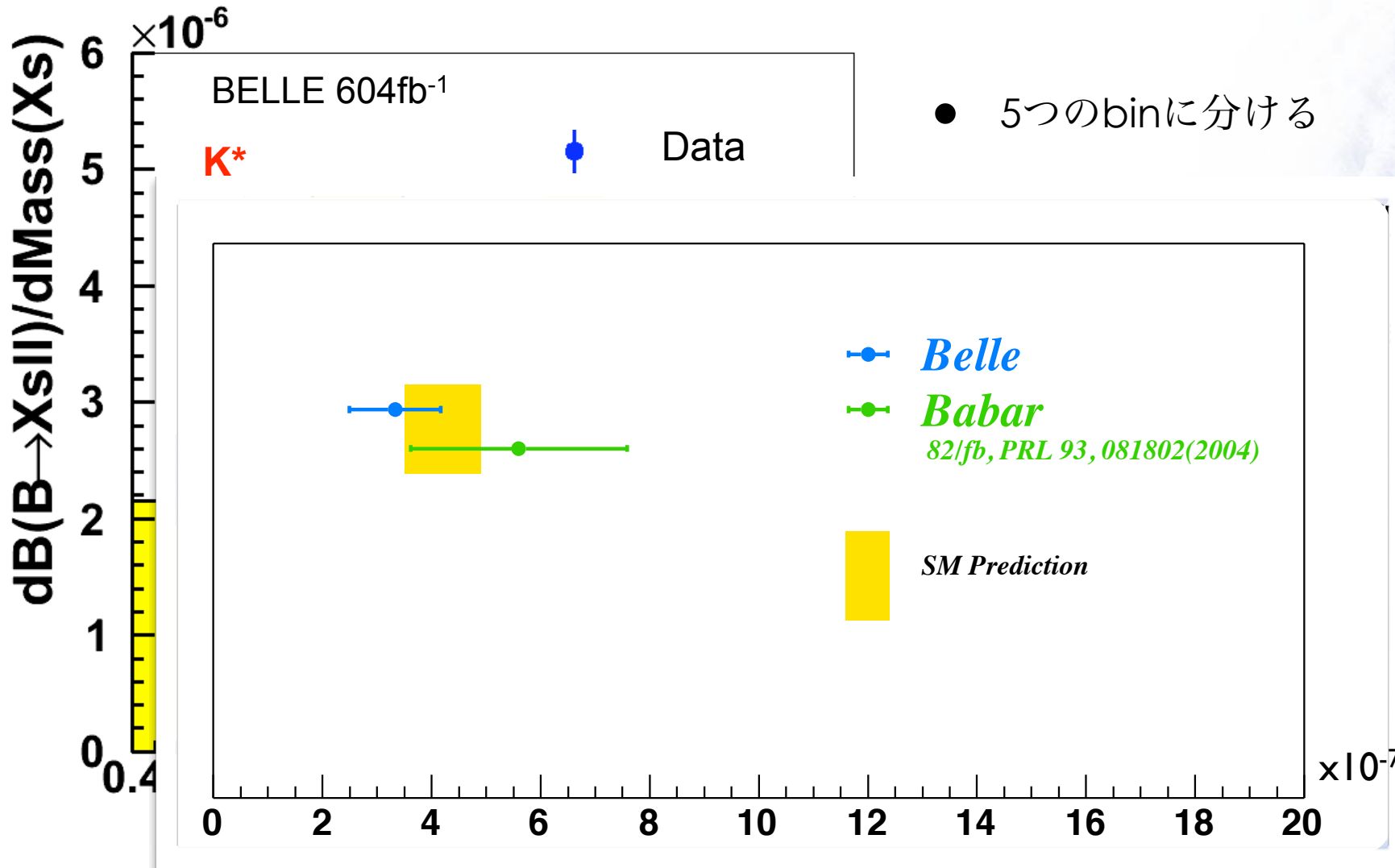


- 5つのbinに分ける
- それぞれの分歧比を測定
- 5つの結果をcombineする
- systematic errorを小さくできる

$$\mathcal{B}(B \rightarrow X_s ll) = (3.33 \pm 0.80^{+0.19}_{-0.24}) \times 10^{-6}$$

preliminary

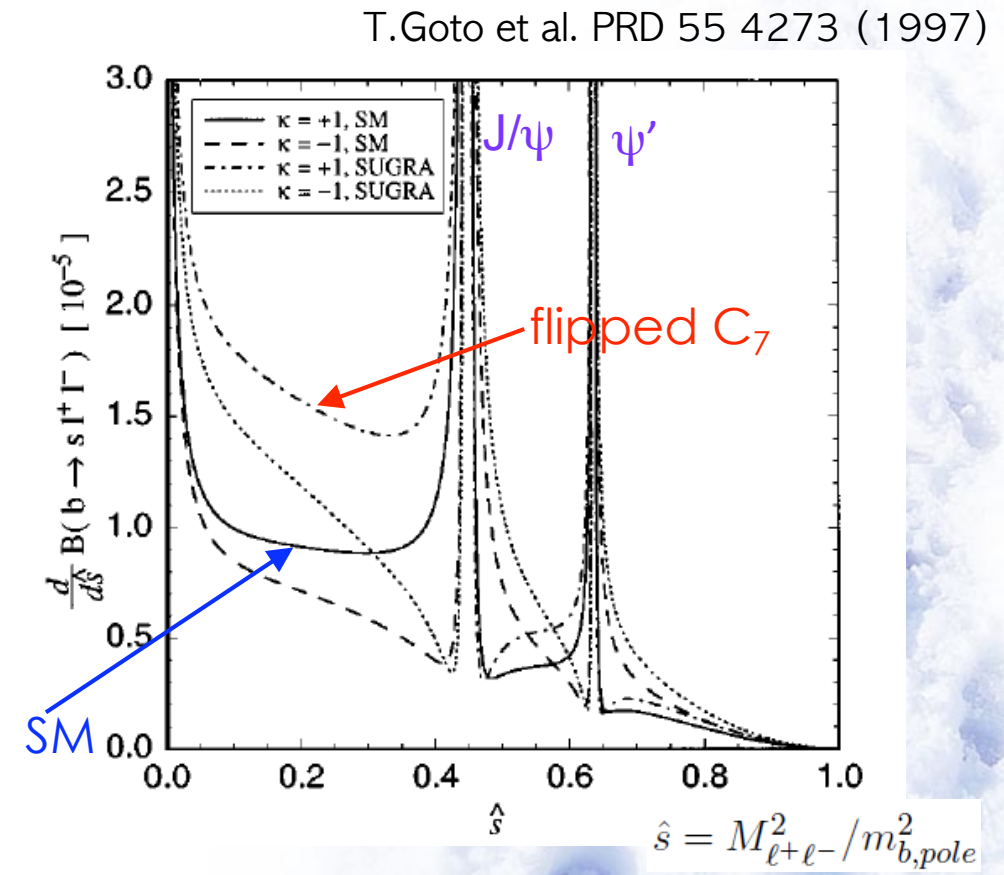
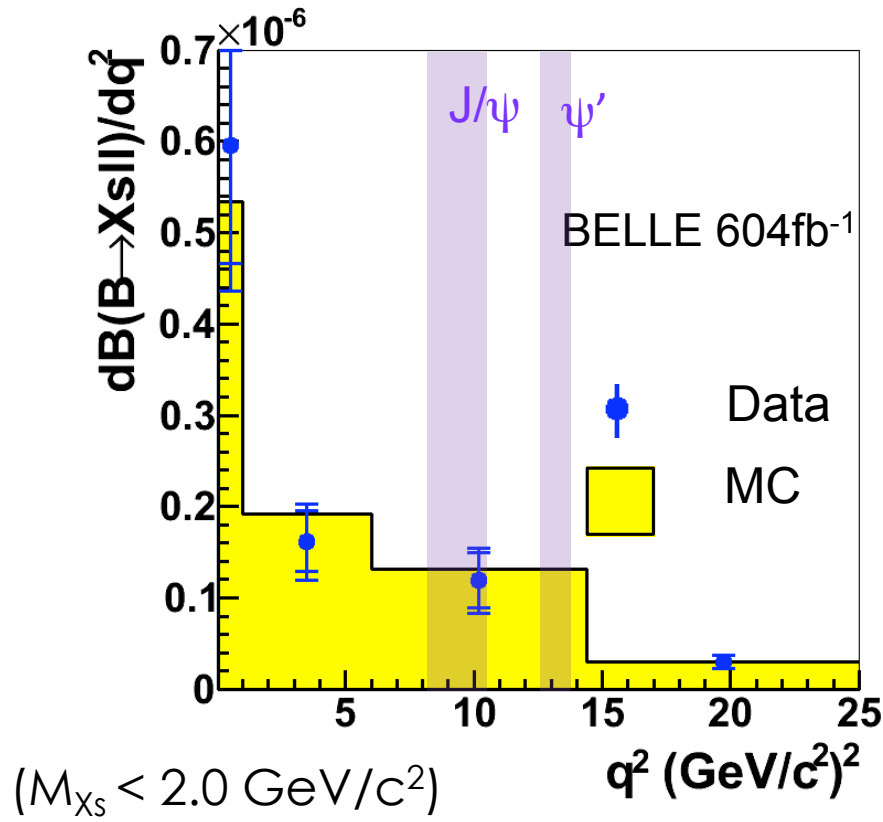
inclusive $B \rightarrow X_s ll$



$$\mathcal{B}(B \rightarrow X_s ll) = (3.33 \pm 0.80^{+0.19}_{-0.24}) \times 10^{-6}$$

preliminary

inclusive $B \rightarrow X_s l\bar{l}$



- SMの予想とよく合っている

summary

♥ b→sの遷移

- new physics のプローブとして注目

♥ B→Xsll analysis

- 豊富な観測量
- $F_{AB}(q^2 \sim \text{小})$ にずれ? flipped- C_7 like
- inclusive modeではSM like
-

